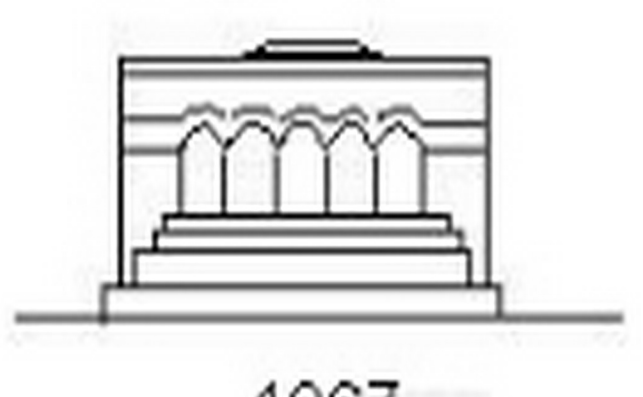
# ՄԵԽԱՆԻԿԱ

# МЕХАНИКА

# MECHANICS



#### C. A. KAAOEPOB

# РАСПРЕДЕЛЕНИЕ НАПРЯЖЕНИЙ В АНИЗОТРОПНОЙ ПОЛУПЛОСКОСТИ С ЭЛЛИПТИЧЕСКИМ УПРУГИМ ЯДРОМ

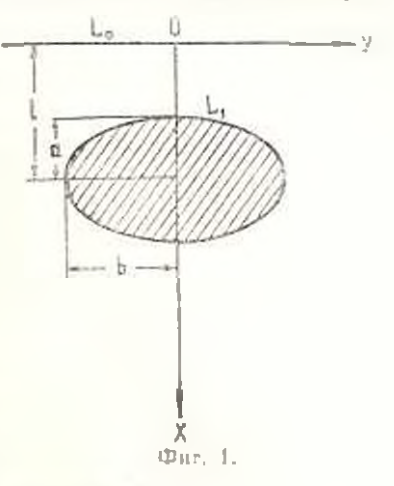
В работе [1] рассмотрена задача о напряженном состоянии анизотропной полуплоскости с эллиптическим отверстием. Здесь решена задача о напряженном состоянии ланой же полуплоскости в случае, когда отверстие подкреплено упругим идром, которое изготовлено из аругого анизотропного матариала.

§ 1. Рассмотрям упругую анизотропную полуплоскость с эддиптическим отверстием, полуоси которого ранны и и о. Обозначим рас-

стояние между центром отверстия и границей полуплоскости черея  $I_i$  контур эллиптического отверстия—черея  $L_i$  границу полуплоскости—черея  $L_i$  (фиг. 1).

Пусть в отверстие без предварительного натижения впаяно или вклеено ядро из другого апизотропного материала. Полуплоскость подвержена дейстрию внешних усилий, действующих вдали от отверстия.

Определение напряженного состояния олуплоскости и ядра, как известно, приводится к накождению "пиций комплексных переменных. (2) и (2)



(j=1,2), удовлетворяющих следующим условиям [3]:

$$\begin{aligned}
2 \operatorname{Re} \left[ \Phi_1(z_1) - \Phi_2(z_2) \right] &= 0 \\
2 \operatorname{Re} \left[ p_1 \Phi_1(z_2) - p_2 \Phi_2(z_2) \right] &= 0
\end{aligned} \quad \text{find } L_0 \tag{1.1}$$

$$\begin{aligned}
2 \operatorname{Re} \left[ \Phi_{1}(z_{1}) + \Phi_{2}(z_{2}) \right] &= f_{11} - 2 \operatorname{Re} \left[ \Psi_{1}(z_{1}^{1}) + \Psi_{2}(z_{2}^{1}) \right] \\
2 \operatorname{Re} \left[ \Psi_{1}\Phi_{1}(z_{1}) + \Psi_{2}\Phi_{2}(z_{2}) \right] &= 2 \operatorname{Re} \left[ \Psi_{1}\Psi_{1}(z_{1}^{1}) + \Psi_{2}\Psi_{2}(z_{2}^{1}) \right] \\
2 \operatorname{Re} \left[ p_{1}\Phi_{1}(z_{1}) + p_{2}\Phi_{2}(z_{2}) \right] &= + 2 \operatorname{Re} \left[ p_{1}\Psi_{1}(z_{1}^{1}) + p_{2}\Psi_{2}(z_{2}^{1}) \right] \\
2 \operatorname{Re} \left[ q_{1}\Phi_{1}(z_{1}) + q_{2}\Phi_{2}(z_{2}) \right] &= 2 \operatorname{Re} \left[ q_{1}\Psi_{1}(z_{1}^{1}) + q_{2}\Psi_{2}(z_{2}^{1}) \right]
\end{aligned} (1.2)$$

Здесь  $f_{ii}$  (i=1, 2) — функции, характеризующие загружения сплошной полуплоскости:  $u_{ij}$  и  $u_{ij}$  — проежции смещения в сплошной

Здесь и и дальнейшем величины е паденсом 1 посрху относится к адру, о Сем инденсов-и полуплосности.

полуплоскости, возникшие под действием внешних усилий;  $p_i$  и  $p_i$  комплексные параметры для полуплоскости и ядра, их будем и дальнейшем считать чисто минимыми,  $\tau_i$  е.  $p_i = ip_i$ ,  $p_i = ip_i$ ,  $p_i = ip_i$  наконец, постоянные  $p_i$  и  $q_i$  определяются по следующим формулам [3]:

$$p_1 = a_{12} - a_{11}^{3/2}, \quad p_2 = a_{12} - a_{11}^{3/2}$$

$$q_1 = i \left( a_{12} \beta - \frac{a_{22}}{\frac{3}{2}} \right), \qquad q_2 = i \left( a_{12} \beta - \frac{a_{22}}{2} \right)$$

Параметры  $p_i^t$  и  $q_i^t$  получаются из p и  $q_i$ , если заменить в посхедних  $a_{ik}$ , p и q на  $a_{ik}$ , p и q . Коят јидненты и  $a_{ik}^t$  упругне постоянные соответственно полуплоскости ядра.

Функции  $\Phi_i(z_i)$  определены областях S, получаемых из заданной области путем исполья намия аффинных преобразований вида  $z_i = x$   $\psi.y$ . В этих областях будем иметь полуплоскости с эллиптическими отверстиями, полуоси которых будут соответственно  $a_i$  и  $a_i$  ib. При этом расстояния от центров эллипсов до границ полуплоскостей не изменяются и будут равкы l. Функции же  $\Psi_j(z_j)$  определены и голоморфны в эллипсах, получемых из заданного эллипса аффинными преобразованиями =  $\frac{1}{2} U_i$ 

Функции Ф (г.) будем искать и виде

$$\Phi_{(1\pm)} = \Phi_{ab}(\pm) + \Phi_{(\pm)} \tag{1.3}$$

где  $\Phi_{\mathcal{B}}(z_n)$  функции, годоморфив и нижких полуплоскостих, а  $\Phi_{\mathcal{B}}(z_n)$  вне контуров вличите екст от регип в областих  $S_n$ .  $\Pi$  - следние представим так:

$$\Phi_{11}(z_1) = \sum_{k=1}^{\infty} \frac{a_k}{\left[\zeta_1(z_1^*)\right]^k}, \qquad \Phi_{21}(z_2) = \sum_{k=1}^{\infty} \frac{b_k}{\left[\zeta_2(z_2^*)\right]^k}$$
(1.4)

Здесь a и b — произвольные комплексные постоянные, подлежащие определению,  $z=z_i$  l, а спязаны с следу цими неянными зависимостями:

$$z_i^i = m_0 z_1^i - \frac{m_1}{z_1^i} - z_1^i - n_1 z_2^i - \frac{n_2}{z_2^i}$$
 (1.5)

При этом

$$m_1 = \frac{a - 3b}{2}$$
,  $m_1 = \frac{a - 3b}{2}$ ,  $m_2 = \frac{a - 3b}{2}$ ,  $m_3 = \frac{a - 3b}{2}$  (1.6)

Из гранич**ных услови**й (1.1) гд. И. Мускелишвили [5] вайдем

$$\Phi_{10}(z_1) = \sum_{i} \left[ \frac{1}{\left[ \tilde{\zeta}_1(z_1^i) \right]^n} + \frac{l_2 \tilde{b}_N}{\left[ \tilde{\zeta}_2(z_1^i) \right]^n} \right] \\
= \sum_{i} \left[ \frac{1}{\left[ \tilde{\zeta}_1(z_2^i) \right]^n} + \frac{l_1 b_N}{\left[ \tilde{\zeta}_2(z_2) \right]^n} \right] \tag{1.7}$$

где

$$l_1 = \frac{3}{3} + \frac{5}{5}, \qquad l_2 = \frac{25}{3 + -5}, \qquad l_3 = \frac{29}{3 + -5}$$

Функции [4 (z']] можно разложить внутри валипсов в областях S<sub>1</sub> в сходящиеся ряды по полиномам Фабера [4]

$$\left[\overline{\zeta}_{1}(z_{i}^{*})\right]^{-k} = \sum_{k=0}^{N} A_{i}^{(j)} P_{jk}(z_{i}^{*}) = \sum_{k=0}^{N} B_{kl}^{(j)} P_{jk}(z_{i}^{*})$$
 (1.8)

Через  $P_{ii}(z^i)$  здесь обозначены полиномы Фабера для эллипсов в областях  $S_i$ . Они связаны с  $\mathbb{Z}_i$  иг стыми записимостями:

$$P_{1l}(z_1) = z_1^l + \frac{m}{z_1^l}, \quad P_{2l}(z_1^l) = z_2^l - \frac{n}{z_2^l}, \quad \left(m = \frac{m_1}{m_0}, \quad n = \frac{n}{n_0}\right)$$
 (1.9)

Теперь функции  $\Phi_i(z_i)$  в области сходимости разложений (1.81 примут вид:

$$\Phi_{1}(z_{1}) = \sum_{k=1}^{\infty} \left[ \frac{a_{k}}{z_{1}^{2}} - \sum_{i=1}^{\infty} (l_{1}A_{k}^{(1)}\overline{a}_{k} - l_{2}B_{kl}^{(1)}\overline{b}_{k}) P_{1i}(z_{1}^{*})^{\frac{1}{2}} \right]$$

$$\Phi_{2}(z_{2}) = \sum_{k=1}^{\infty} \left[ \sum_{z_{2}^{2}} - \sum_{i=1}^{\infty} A_{i}^{(1)}z_{i}^{-} - l_{1}B_{kl}^{(2)}\overline{b}_{k}) P_{2i}(z_{2}^{*})^{\frac{1}{2}} \right]$$
(1.10)

Функции  $T_f(z_1^1)$  голоморфиы в эллипсах, получаемых из данного вланиса путем использования аффинных преобразований  $z_1^1 = x - y_f y$ . Поэтому их можно представить в виде рядов

$$\Psi_{1}(z_{1}^{1}) = \sum_{k=1}^{\infty} P_{2}(z_{1}^{1}) = \sum_{k=1}^{\infty} P_{2}(z_{1}^{1}) = \sum_{k=1}^{\infty} P_{2}(z_{1}^{1})$$
(1.11)

rae

$$P_{1k}^{1}(z_{1}^{1}) = \tilde{z}_{1}^{k} = \frac{(m^{1})^{k}}{z_{1}^{1}}, \qquad P_{2k}^{1}(z_{2}) = \tilde{z}_{2}^{k} = \frac{(n^{1})^{k}}{z_{2}^{2}}$$
 (1.12)

При этом :, связаны с  $z^1$  с помощью неявных записимостей

$$z_1^1 = m_{i_1}^{1r} - \frac{m_1^1}{r_1} \qquad z_2^1 - n_{i_1}^{1r} z_2^1 - \frac{n!}{r_2}$$
 (1.13)

Постоянные  $m_0^1$ ,  $m_1^1$ ,  $n_1^1$ ,  $n_1^1$ ,  $m_1^1$ ,  $m_1^1$ ,  $m_2^1$  нолучаются из  $m_0$ ,  $m_1$ ,  $n_1$ ,  $n_2$ ,  $n_3$ ,  $n_4$ ,  $n_5$ ,  $n_5$ ,  $n_5$ ,  $n_5$ ,  $n_6$ ,  $n_7$ ,  $n_8$ 

Если теперь подстапить в граничные условия (1.2) выражения (1.10) и (1.11), то применением известного метода рядон для определения постоянных  $a_1, b_k, c_k, d_k$  получим следующум бескопечную алгебранческую систему:

$$-[(m^{1}) \quad 1] c_{k} - \{(n^{1}) \quad 1] d - \sum_{p=1}^{\infty} [(-m^{2} A_{pk}^{-1} - l_{3}n^{2} A_{pk}^{-1}) a_{p} - (l_{1}A_{pk}^{-1} - l_{3}A_{pk}^{-1}) a_{p} - (l_{1}A_{pk}^{-1} - l_{3}A_{pk}^{-1}) a_{p} - (l_{1}A_{pk}^{-1} - l_{3}A_{pk}^{-1}) a_{p} - (l_{1}A_{pk}^{-1} - l_{1}A_{p}^{-1} - l_{1}A_{p}^{-1}) a_{p} - (l_{1}A_{pk}^{-1} - l_{1}A_{p}^{-1} - l_{1}A_{p}^{-1}) a_{p} - (l_{1}A_{pk}^{-1} - l_{1}A_{pk}^{-1} - l_{1}A_{pk}^{-1}) a_{p} - (l_{1}A_{pk}^{-1} - l_{1}A_{pk}^{-1} - l_{1}A_{pk}^{-1}) a_{p} - (l_{1}A_{pk}^{-1} - l_{1}A_{pk}^{-1} - l_{1}A_{pk}^{-1}) a_{p} - (l_{1}A_{pk}^{-1} - l_{1}A_{pk}^{-1} - l_{1}A_{pk}^{-1}) a_{p} - (l_{1}A_{pk}^{-1} - l_{1}A_{pk}^{-1}) a_{p} - (l_{1}A_{pk}^{-1} - l_{1}A_{pk}^{-1} - l_{1}A_{pk}^{-1}) a_{p} - (l_{1}A_{pk}^{-1} - l_{1}A_{pk}^{-1} - l_{1}A_{pk}^{-1} - l_{1}A_{pk}^{-1}) a_{p} - (l_{1}A_{pk}^{-1} - l_{1}A_{pk}^{-1} - l_{1}A_{pk}^{-1} - l_{1}A_{pk}^{-1}) a_{p} - (l_{1}A_{pk}^{-1} - l_{1}A_{pk}^{-1} - l_{1}A_{pk}^{-1} - l_{1}A_{pk}^{-1}) a_{p} - (l_{1}A_{pk}^{-1} - l_{1}A_{pk}^{-1} - l_{1}A_{pk}^{-1} - l_{1}A_{pk}^{-1}) a_{p} - (l_{1}A_{pk}^{-1} - l_{1}A_{pk}^{-1} - l_{1}A_{pk}^{-1} - l_{1}A_{pk}^{-1}) a_{p} - (l_{1}A_{pk}^{-1} - l_{1}A_{pk}^{-1} - l_{1}A_{pk}^{-1} - l_{1}A_{pk}^{-1}) a_{p} - (l_{1}A_{pk}^{-1} - l_{1}A_{pk}^{-1} - l_{1}A_{pk}^{-1} - l_{1}A_{pk}^{-1}) a_{p} - (l_{1}A_{pk}^{-1} - l_{1}A_{pk}^{-1} - l_{1}A_{pk}^{-1} - l_{1}A_{pk}^{-1}) a_{p} - (l_{1}A_{pk}^{-1} -$$

где

Производя над системой (1.14) некоторые алгебраические преобразования, запишем ее и пиде

$$a = \sum_{i=1}^{n} |(t_{11}A_{ik})a_{i} - (t_{12}A_{i}^{(1)} + t_{14}A_{nk})a_{i} - (t_{12}B_{nk}^{(1)} - t_{14}B_{nk}^{(2)})b_{n} - (t_{12}B_{nk}^{(1)} - t_{14}B_{nk}^{(2)})b_{n}| = \pi$$

$$b_{k} = \sum_{i=1}^{\infty} [(t_{i1}A_{nk} - A_{n}^{(1)})a_{i} - \tau t_{i1}A_{nk})a_{n}$$

$$(1.15)$$

$$(t_{03}B_{pk}^{(1)} - b_{p} + (t_{n}B_{pk}^{(1)} + t_{2k}B_{pk}^{(2)}) b_{p}] = \emptyset_{k}^{*}$$

$$c_{k} = \sum_{k=1}^{\infty} [(s_{1}A^{(1)} + s_{1n}B_{pk}^{(1)}) b_{p} - (s_{13}A_{pk}^{(1)} - s_{2k}A_{pk}^{(2)}) a_{p}$$

$$- (s_{12}B_{nk}^{(1)} + s_{1n}B_{nk}^{(1)}) b_{p} - (s_{23}A_{pk}^{(1)} - s_{24}A_{pk}^{(2)}) a_{p}$$

$$(1.16)$$

$$d_{k} = \delta_{k}^{*} - \sum_{p=1}^{\infty} [(s_{21}A_{pk}^{(1)} - s_{22}A_{pk}^{(2)}) a_{p} - (s_{23}A_{pk}^{(1)} - s_{24}A_{pk}^{(2)}) a_{p}$$

$$- (s_{25}B_{pk} + s_{28}B_{pk}) b_{p} - (s_{23}B_{pk} + s_{23}B_{pk}) b_{p}]$$

Постоянные  $3^n$ ,  $\gamma^n$ ,  $\delta^n$  зависят от правых частей системы (1.14) и от упругих постоянных полуплоскости и ядра. Коэффициенты же  $t_{in}$  и  $s_{in}$  ( $i=1, 2; n=1, 2, \ldots 8$ ) зависят только от упругих постоянных полуплоскости и ядра.

Учитывая, что коэффициенты  $t_{in}$  остаются ограниченными при  $k \to \infty$ , можно доказать так же, как и и работе [2], что система (1.15) является квазирегулярной. Поэтому ее можно решать методом редукции.

После определения из системы (1.15) коэффициентов  $b_k$  функции  $\Phi_k(z_k)$  становятся известными. Через них напряжения, возникающие в полуплоскости, выражаются следующим образом:

$$\begin{aligned}
\sigma_{x} &= \sigma_{y}^{0} - 2 \operatorname{Re} \left[ \beta^{2} \Phi_{1} \left( z_{1} \right) + \delta^{2} \Phi_{2} \left( z_{2} \right) \right] \\
\sigma_{y} &= \sigma_{y}^{0} + 2 \operatorname{Re} \left[ \Phi_{1} \left( z_{1} \right) + \Phi_{2} \left( z_{2} \right) \right] \\
\tau_{xy} &= \tau_{xy} - 2 \operatorname{Re} \left[ i \beta \Phi_{1} \left( z_{1} \right) - i \delta \Phi_{2} \left( z_{2} \right) \right]
\end{aligned} \tag{1.17}$$

Здесь э; — напряжения, возникающие в сплошной полуплоскости, а функции Ф, (z.) выражаются через так:

$$\Phi_{1}(z_{1}) = \sum_{k=1}^{\infty} \left\{ \frac{a_{k}}{(m_{1} - m_{0}\zeta_{1}^{2})\zeta_{1}^{k-1}} - \frac{l_{1}\overline{a}_{k}}{(m_{1} - m_{0}\zeta_{1}^{2})\zeta_{1}^{k-1}} - \frac{i_{1}l_{2}\overline{b}_{k}}{(n_{1} - n_{0}\zeta_{2}^{2})\zeta_{2}^{k-1}} \right\} (1.18)$$

где

$$\zeta_{1}(z_{1}) = \frac{z_{1} - l \pm 1 \cdot (z_{1} - l) - 4m_{c}m_{1}}{2m_{o}}$$

$$\overline{\zeta}_{1}(z_{1}) = -\frac{z_{1} - l + 1 \cdot (z_{1} + l)^{2} - 4m_{o}m_{1}}{2m_{o}}$$

$$\zeta_{1}(z_{1}) = -\frac{l_{1}z_{1} - l + 1 \cdot (z_{1} - l)^{2} - 4n_{o}m_{1}}{2n_{o}}$$

$$l_{1} = \frac{\delta}{\beta}$$

В первом выражении знак перед радикалом следует выбрать таким образом, чтобы большим значениям соответстновали большие значения

Выражение для определения  $\Phi(z)$  получим из выражения (1.18), если поменять в нем местами  $a_1$  и  $b_2$ ,  $z_3$  и  $z_4$ ,  $z_5$  и  $z_6$ 

Напряжения т., т. действующие на площадках, касательных и пормальных к контуру эллиптического отнерстия, нычисляются по формулам

$$\frac{1}{L^{2}}(b^{2}z_{x}\cos^{2}\theta - a^{2}z_{y}\sin^{2}\theta + 2abz_{xy}\sin^{2}\theta\cos^{2}\theta)$$

$$\frac{1}{L^{2}}(a^{2}z_{x}\sin^{2}\theta + b^{2}z_{y}\cos^{2}\theta - 2abz_{xy}\sin^{2}\theta\cos^{2}\theta)$$

$$\frac{1}{L^{2}}[ab(z_{y} - z_{x})\sin^{2}\theta\cos^{2}\theta - z_{x}, (b^{2}\cos^{2}\theta - a^{2}\sin^{2}\theta)]$$

Эдесь

$$L^2 = a^2 \sin^2 \theta - b^2 \cos^2 \theta$$

Дли определения напряжений в ядре по формулам (1.16) находим  $c_k$ ,  $d_k$ . После определения этих коэффициентов функции  $d_k$  становятся известными, и напряжения вычисляются по формулам

$$\begin{aligned} z_{x}^{1} &= -2\operatorname{Re}\left[\left(2^{1}\right)^{2}\Psi_{1}^{1}(z_{1}^{1}) + (2^{1})^{2}\Psi_{2}^{1}(z_{2}^{1})\right] \\ &= 2\operatorname{Re}\left[\Psi_{1}^{1}(z_{1}^{1}) + \Psi_{2}(z_{2}^{1})\right] \\ z_{xy}^{1} &= 2\operatorname{Re}\left[i\beta^{1}\Psi_{1}^{1}(z_{1}^{1}) + i\delta^{1}\Psi_{2}(z_{2}^{1})\right] \end{aligned}$$

Функции  $\Psi_{\rho}(z^{1})$  получаются дифференцированием выражений (1.11). При этом производные от полиномов Фабера находятся порекуррентным формулам

$$P_{j0}^{1} = 0, \quad P_{j1}^{1} = 1$$
 $P_{jk+1}^{1} = P_{jk}^{1} - z^{1} P_{jk}^{1} - r_{1} P_{jk}^{1} - r_{2} P_{jk}^{1} - r_{3} P_{jk}^{1} - r_{3}$ 

Из системы (1.14) легко получить систему для определения постоянных  $a_{\kappa}$ ,  $h_{\ell}$  для случая, когда ядро является абсолютно жестким или абсолютно гибким. В первом случае нужно положить по всех формулах  $a_{\ell} = 0$ , а во втором перейти к пределу при  $a_{\ell}^{1} \rightarrow \infty$ .

§ 2. Пусть полуплоскость растягивается усилиями интенсивности р, приложенными к ней на бесконечности параллельно ее границе.

В этом случае

$$z_1 = -\frac{a}{2}, \quad z = 0, \quad p$$

$$z_1 = \frac{a}{2}, \quad z = 0, \quad z_1 = \frac{a}{2}, \quad z_2 = \frac{b}{2}, \quad z_3 = 0$$

$$z_4 = z_4, \quad z_4 = 0, \quad (k > 2)$$
(2.1)

Для такого загружения, как нидно из системы (1.14), коэффициенты  $a_k$ ,  $b_k$ ,  $c_k$ ,  $d_k$  получаются вещественными, и системы (1.14) и (1.15) несколько упрощаются.

При проведении расчетов было принято, что упругие постоянные для ядра пропорциональны упругим постоянным для полуплоскости, т. е.

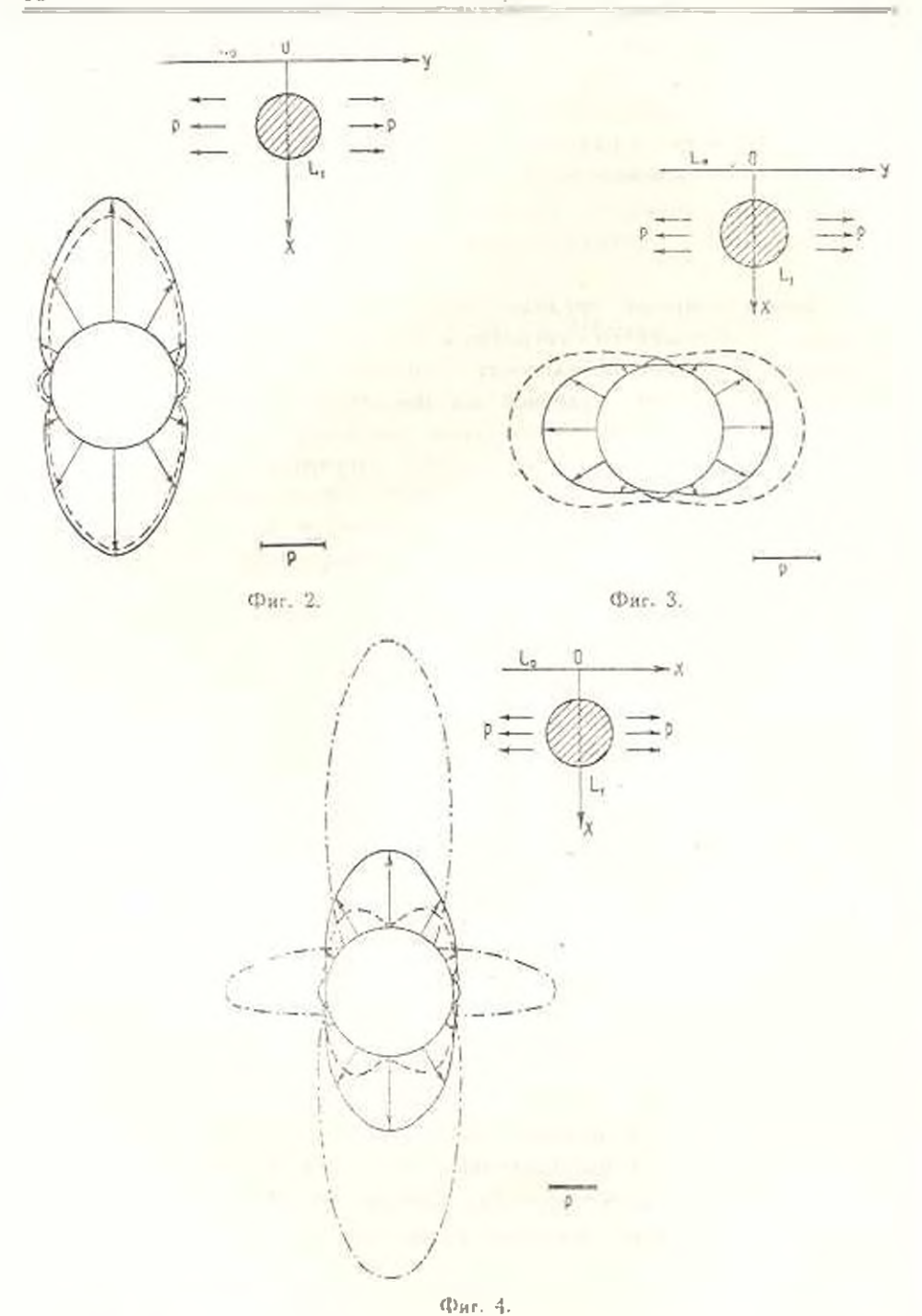
$$a_{sc}^{1} = ia_{cb} \tag{2.2}$$

Нами в широких пределах варьировались расстояние / между центром эллиптического отверстия и границей полуилоскости, а также коэффициент пропорциональности и и отношение с — b a. Полуплоскость считалась изготовленной из различных ортотропных материалов. Все вычисления то определению напряжений запрограммированы и проподились на быстродействующей электронной вычислительной машине Урал 2. Незначительную часть проведенных расчетов приводим виже. Во всех случаях, если противное не оговорено, полуплоскость считалась изготовленной из авиационной фанеры, для которой р = 4.11, с = 0.343.

В полученном нами решении граничные условия на границе полуплоскости удовлетворялись точно, а в точках L, на поверхности контакта полуплоскости и ядра приближению, т. к. бесконечная алгебраическая система (1.15) при проведении вычислений была урезана. Количество уравнений при ее решении варьировалось от двух до двадцати восьми, т. е. увеличивалось до тех пор, нока граничные условия на  $L_1$  не удовлетворялись с очень яысокой точностью. Точность выполнения граничных условив в отдельных точках спая контролировалась вычислением напряжений  $\pi_{p_1}$  в полуплоскости  $\pi_{p_2}$  в ядре.

В таба. 1 даны значения напряжений и действующих соответственно на площадках, касательных и нормальных к контуру кругового отверствя для разных расстояний между центром отверствя и границей полуплоскости, а на фиг. 2 изображен график распределения напряжений при 1.1 $\alpha$ . Пунктирная липия на графике относится к случаю, когда вместо полуплоскости рассматривается плоскость с таким же идром. Здесь и ниже, если противное не огонорено, ядро считали изготовленным из такого материала, для которого упругие постоянные  $a_{ik}^1 = 2a_{ik}$ . Как видно из таблицы и графика, прямолинейная граница оказывает незначительное плияние на концентрацию напряжений.

В таба. 2 принедены значения напряжений  $\tau_t$  и для разных жесткостей ядра, когда  $t=1.5\,a$ . Значение  $\epsilon=0$  относится к случаю абсолютно жесткого ядра, а  $\ell=\infty$  к случаю, когда ядро отсутствует. На фиг. 3, 4 наображены графики распределения напряжений  $\tau_t$  и , когда t=2, т. с.  $a=2a_{tt}$ . Здесь же пунктирной и штрихпунктирной линиями проведены графики распределения этих напря-



жений, соответатвующие случаям, когда ядро абсолютно жесткое и когда ядро асболютно гибкое. Значения напряжений  $z_i$  в точках неремычки (и этих точках напряжения  $z_i$  малы, а — равны пулю) для случая абсолютно жесткого, упругого и абсолютно гибкого ядра приведены и табл. 3.

291		p				
- 2	rró	M.	ĸ	H	征	-

							2	полица /
10	2		1	.5	1	.1		.05
1	1/2	14	2 p	29	2,-	3,	2,	=4,
0	-0.040	1.614	-0.039	1.620	-0.022	1.633	-0.014	1.636
30	0.172	0.853	0,175	0.873	0.187	0.882	0.191	0.884
60	0.595	0.265	0.599	0.272	0.610	0.283	0.612	0.283
90	0.809	-0.124	0.815	-0.113	0.830	-0.098	0.831	-0.098
120	0.602	0.255	0.612	0.259	0.638	0,268	0.645	0.266
150	0.174	0.867	0-180	0.880	0.207	0,931	0.217	0,941
180	-0.049	1.635	-0.050	1.672	-0.031	1.897	-0.019	2.079

### Таблица 2

(1)	0	)	0.	ī	(	1.5		1.	2		16	0	90
NI	3,	4	1,	14	1,	36	1,	46	e,	74	1,	4	=0
0.0	0.070 (	0.002	า . 060	0.1 <b>2</b> 9	0.290	9.568	0	1	-0.039	1.620	-0.096	3.273	4.553
30 0	.3810	558	0.364	0.582	0.395	0.666	0.250	0.750	0.175	0.873	0.016	1.215	1,491
60 1	.000 (	1.217	0.968	0.221	0.857	0.236	0.750	0.250	0.599	0.272	0.226	0.330	0.325
90 1	.299 (	092	1.261	0.086	1,129	0 052	1	0	0.815	-0.114	0.333	-0.783	-2.157
120 (	1,969 (	203	0.941	0 210	0.845	0.233	0.750	0.250	0.612	0.259	0.249	0.118	-0.496
150 (	366 (	1.525	0.351	0 555	0 300	0.655	0.250	0.750	0.180	0.880	0.028	1 116	0.971
180 (	0.082 (	1,003	0.072	0,123	0.036	0.551	υ	1	-0.050	1.672	-0.126	3.733	5.959

# Tabanya 3

	2   1.5 046 1.14	1			
.224 1.	046 1 14	3 1 640	0.695	0.557	0.011
		J I und	0.013	H.557	0.215
.213 1.	079 1 17	3 1.650	1.267	1.488	2.612
.179 1.	111 1 21	8 1.687	1.555	2.106	4.814
.115 1.	184 1.31	3 1.760	2.047	2.958	7.351
.001. 1.	635 1.67	2 1.897	4.966	5.950	11,158
					.115 1.184 1.313 1.760 2.047 2.958 .001 1.635 1.672 1.897 4.966 5.959

# Таблица 4

. I I	$\overline{z}_p$	8	1,	-p,	2,	Og	7,	34
				9 [	- 7	- 9	76	95
006 1.892	-0.031	1 766	0.039	1.620	-0.025	1.455	-0.006	1.262
844 0.153	0.491	0.508	0.175	0.873	0.032	1.129	0.003	1,212
934 —0.033	0.813	0,071	0.599	0.272	0.298	0.571	0.055	0.919
948 -0.082	0.886	-0.117	0.815	-0.114	0.733	0.093	0.631	-0.115
938 -0.042	0.822	0,565	0.612	0.259	0.310	0,562	0.061	0.893
859 0.139	0,490	0.497	0.180	0.880	0.034	1.161	0.000	1,241
018 1.909	-0.049	1.801	0.050	1.672	-0.029	1,530	-0.006	1.385
	844 0.153 934 -0.033 948 -0.082 938 -0.042 850 0.139	844 0.153 0.491 934 -0.033 0.813 948 -0.082 0.886 938 -0.042 0.822 850 0.139 0.499	844     0.153     0.491     0.508       934     -0.033     0.813     0.071       948     -0.082     0.886     -0.117       938     -0.042     0.822     0.565       850     0.139     0.499     0.497	844     0.153     0.491     0.508     0.175       934     -0.033     0.813     0.071     0.599       948     -0.082     0.886     -0.117     0.815       938     -0.042     0.822     0.565     0.612       859     0.139     0.499     0.497     0.180	844     0.153     0.491     0.508     0.175     0.873       934     -0.033     0.813     0.071     0.599     0.272       948     -0.082     0.886     -0.117     0.815     -0.114       938     -0.042     0.822     0.565     0.612     0.259       859     0.139     0.499     0.497     0.180     0.880	844     0.153     0.491     0.508     0.175     0.873     0.932       934     -0.033     0.813     0.071     0.599     0.272     0.298       948     -0.082     0.886     -0.117     0.815     -0.114     0.733       938     -0.042     0.822     0.565     0.612     0.259     0.310       850     0.139     0.499     0.497     0.180     0.880     0.034	844     0.153     0.491     0.508     0.175     0.873     0.032     1.129       934     -0.033     0.813     0.071     0.599     0.272     0.298     0.571       948     -0.082     0.886     -0.117     0.815     -0.114     0.733     0.093       938     -0.042     0.822     0.565     0.612     0.259     0.310     0.562       850     0.139     0.499     0.497     0.180     0.880     0.034     1.161	934     -0.033     0.813     0.071     0.599     0.272     0.298     0.571     0.055       948     -0.082     0.886     -0.117     0.815     -0.114     0.733     0.093     0.631       938     -0.042     0.822     0.565     0.612     0.259     0.310     0.562     0.061

Tubaugu 5

10	ch mer ., pac	ти утая попе	рек волокон		CRAM	
1	0.2	1	5	0.2	1	5
U	1 921	1.698	1.328	1.866	1_560	1.230
30	0.118	0.792	1.212	0,129	0.994	1.194
ńθ	-0.010	0.237	0.835	-0.522	0.259	1,003
90	- 0.032	0.060	0.030	-0.083	-0.152	-0.110
120	-0.013	0.229	0.332	-0.063	0.226	0.966
150	0.113	0.796	1.249	0.110	0.985	1.235
1.80	1.934	1,741	1.434	1.889	1 623	1.395

Из таблиц и графиков нидно, что подкрепление отперстия упругим или жестким ядром значительно снижает концентрацию напряжении около отверстия и в точках перемычки и изменяет картину их распределения. Особенно эффективно влияние подкрепления для близких расстояний I. Полуплоскость с подкрепленным отверстием, когда упругие постоянные подкрепляющего ядра меньше упругих постоянных полуплоскости, можно считать плоскостью с таким же ядром, начиная уже с расстояний между границами  $L_0$  и  $L_1$ , равных полуоси  $\alpha$ . Для полуплоскости же со свободным отверстием влияние границы  $L_0$  начинается гораздо раньше, и при сближении границ  $L_1$  и  $L_1$  сильно возрастает концентрация напряжений в точках перемычки, близких к точкам контура отверстия.

В табл. 4 приведены значения напряжений и то в случае растяжения полуплоскости из авиационной фанеры вдоль волокон рубашки (р. 4.11,  $\delta$  0.343) для различных значений отношения полуосей эллипса, когда I 1.5 $\alpha$ , в табл. 5 даны значения напряжений для некоторых c при растяжении полуплоскости из фанеры поперек водской рубашки (р. 0.243,  $\delta$  = 2.91) и слабовнизотропного стекловолокнистого материала СВАМ (р. 1.89,  $\alpha$  = 0.531). Из таблиц видно, что неличина отношения c и анизотропия незначительно влияют на конпентрацию напряжений. Их влияние, как показывают расчеты, значительно возрастает в случае снободного отверстия. В этом случае в сильно авизотропной полуплоскости быстро нозрастают напряжения в точках перемычки волизи от контура залиштического отверстия, когда c < 1.

Нами вычислялись также значения напряжений то на контуре сная. Они оказались значительно меньшими по сравнению с за и за и потому их не приводим.

Саратовский государстаенный университет

Поступная 30 VIII 1966

#### Ս. Ա. ԿԱԼՈԵՐՈՎ

# ԼԱՐՈՒՄՆԵՐԻ ԲԱՇԽՎԱԾՈՒԹՅՈՒՆԸ ԷԼԻՊՏԻԿ ԱՌԱԶԳԱԿԱՆ ԾԻԶՈՒԿ ՈՒՆԵՑՈՂ ԱՆԻԶՈՏՐՈԿ ԿԻՍԱՀԱԶԻՑՈՒԹՅՈՐՆՈՒՄ

### Undhahaid

Դիտարկված է հլիպտիկ <mark>առա</mark>ձրական միջուկ ունեցող անիզոտրոպ կիսահարթության արդածային <mark>վիճակի իւնդ</mark>իրը։

Մագիտը ընդվում է հանրահաշվական անվեր սիսանժի լուծժանքը Սույց է տրված արդ սիսանժի թվադիոնդույլարութեյունը։

Մանրամասն ուսումնասիրված է լարումների բաշիսվածունկունը միչուկ անևցող կիսանարինանկունամ նրա ձգման դնոլըում։

#### S. A. KALOEROV

# DISTRIBUTION OF STRESSES IN THE ANISOTROPIC SEMI-PLANE WITH AN ELLIPTIC ELASTIC KERNEL

### Summary

In this paper the strained state in the anisotropic semi-plane with elliptic kernel is considered.

The problem is reduced to the solution of an infinite system of algebraic equations. The quasi-regularity of this system is shown.

A detail analysis of the stress distribution in the semi-plane with the indicated kernel is examined.

#### AHTEPATVPA

- Кисмодиминекий Л. С. Упругое раввовесие внизогронной полуплоскости, ослабленной аллиптическим отверстием. Тр. Груз. полит. ин-та, № 8 (193), 1963.
- 2. Космодамианский А. С. Квазиресулирность бесмонечных он той и зидачих о напряженном состоянии анизотропной среды с палинтическими отверстиями. Прикл. мет., т. 1, вып. 10, 1965
- 3. Лехинцина С. Г. Анизогрониме пластинки. Гостехиздат, М., 1957.
- 4. Маркушевич А. И. Теория аналигических функций. Гостехиздат, М., 1950.
- Мусхедицинан Н. И. Некоторые основные задачи митематической теории упругости. Изд-во АН СССР, М., 1954.

#### Mariana a

#### в т. глушко, а. н. ворин, м. и. рововский

# О ФУНКЦИЯХ СПЕЦИАЛЬНЫХ ОПЕРАТОРОВ И НК ПРИЛОЖЕНИЯХ В ТЕОРИИ ПОЛЗУЧЕСТИ АНИЗОТРОПНЫХ ТЕЛ

В настоящее время на глубоких шахтах Донбасса многие капитальные выработки крепятся жесткими монолитными желевобетояными ветонными крепями, не обладающими конструктивной податливостью, но имеющими плотный контакт с окружающими горными породеми. Известно, что работа крепи, а следовательно, и эффективность поддержания выработки в эксплуатационном состоянии, и основным, чависит от величниы и характера прикладываемых нагрузок.

Существующие методы предрасчета нагрузок из крепи не учитывают фактора времени и анизотропии, что приводит к определенным погрешностих и не позволяет определять нагрузки в течение всего срока существования выработки.

В связи с этим возникает необходимость решения задачи, поэполяющей получить зависимости, определяющие нагрузки на жесткие крени с учетом основных влияющих на них факторов.

Задача ставится следующим образом. В анизотропном горчом массиве, деформированное состояние которого описывается уравнением наследственной теории ползучести [1], на глубние H от дневной поверхности пройдена горизонтальная выработка в форме эллиптического или круглого цилиндра, запрепленияя по псей поверхности-

Требуется определить давление на крень (фиг. 1).

Решая задачу, примем следующие лопущения и ограничения: горный массив является одноролным; горные породы обладают частным видом анизотронни являются трансверсально-изотронными; крепь выработки является абсолютно жесткой. Задача решается, хүн как плоская.

Отличительной особенностью задачи в указанной постановке является то, что фактор времени и анизотропия учитываются совместно.

Вадача решается путем привлечения методов механики сплошных сред тесрии упругости анизотронного тела и наследственной теорин ползучести, в частности принципа Вольтерра, сущность которого сформулирована Ю. Н. Работновым [1].

Выражение для нормального давлении на жесткую крепь, полученное в работе [2], в упругон постановке имеет нид

$$z_n = \frac{\tau H}{2t_2} \left\{ f_n \left[ g_1 \tau_{22} C \left( 1 + \cos 2\theta \right) - \sigma_2 \sigma_{11} k C \left( 1 - \cos 2\theta \right) \right] - f \left[ g_2 \left( \tau_{12} k + \tau_{22} \right) \left( 1 + \cos 2\theta \right) - g_1 C^2 \left( \tau_{12} k - \tau_{22} \right) \left( 1 - \cos 2\theta \right) \right] - f \left[ \left( 1 + \cos 2\theta \right) - C^2 \left( 1 - \cos 2\theta \right) \right]$$
(1)

Здесь

$$f = \frac{1}{k \left( \alpha_{11} \alpha_{22} - \dots - g \right) \left( \frac{1}{\alpha_{11} \alpha_{12}} \right)}, \quad k^{2} = \frac{1}{1 - \nu_{1}}$$

$$n = \left( \frac{1}{2k - m} \right), \quad m = \frac{E_{1} G_{2} - 2\nu_{2} \left( 1 - \nu_{1} \right)}{1 - \nu_{1}^{2}}$$

$$= \frac{1}{G_{2}}, \quad \sigma_{11} = 1 - \nu_{11}^{2}, \quad \sigma_{12} = -\nu_{2} \left( 1 - \nu_{1} \right)$$

 $E_{i}$  — модуль упругости для всех направлений в плоскости изотропии,

 $E_2$  — модуль упругости для направлений, периендикулярных к плоскости изотровии,

у<sub>1</sub> — коэффициент Пуассона, карактеризующий сокращение в направлении, нормальном к плоскости изотронии при растяжении в этой плоскости.

у<sub>2</sub> — коэффициент Пуассона, карактеризующий сокращение в направлении плоскости изотропии при растяжении по нормали к этой плоскости.

E- модуль упругости для изотропной среды,  $\gamma-$  объемный вес породы,  $G_2-$  модуль сдвига для плоскостей, перпецдикулярных к плоскости изотропии.

При этом,

$$G_{2} = \frac{1}{E_{1}^{-1} - \frac{1 - 2v}{E_{1}} - \frac{1}{E_{2}}} \tag{3}$$

 $E_1^{tr}$  — модуль Юнга при сжатии под углом 45 - к плоскости изотропии,  $C = \frac{a}{b}$ , a и b — горизонтальная и вертикальная полуоси эллипса,

 $\gamma$  — средневзвещенный объемный нес перод горного массина, H — глубина расположения выработки,

Как похазали многочисленные исследования реологических свойств анизотронных материалов [2], [3], [4], наиболее важным является случай, когда влияние ползучести проявляется лишь при сжатии под углом 45 к плоскости изотронии. Здесь принимается, что все упрутие константы, кроме  $E_1$  остаются постоянными. Поэтому, согласно приними Вольтерра, в формуле (3) следует вместо константы  $E^{**}$  подставить оператор

$$E_1 = E_1 \left[ 1 - x \vartheta_1 \left( - \beta \right) \right] \tag{4}$$

где  $\Theta_{i}(-\gamma)$  интегральный опер<mark>атор, воздействующий на</mark> некоторую функцию времени z(t), или постоянную

$$\vartheta'(-3) : (t) = \{\vartheta_*(-3, t, s) : (s) ds \}$$
 (5)

адесь  $E_{\rm F}$  упруго-миноненный модуль, отнечающий  $E_{\rm F}$ , и реологические характеристики горной породы,  $\Theta_{\rm F}(-1,\ t,\ s)$  идро наследственности (функция повдействия) типа  $\Theta_{\rm F}(-1,\ t,\ s)$  идро наследственности (функция повдействия) типа  $\Theta_{\rm F}(-1,\ t,\ s)$  идро наследственности (функция повдействия) типа

$$\partial_{x}(-\beta, t-s) = (-\beta) \left[ \frac{1-\beta}{\Gamma[(s-1)(1-2)]} \right]$$
 (6)

Величины E , r=3 определяются из экспериментальных крипых релаксации или ползучести при сжатии образца под углом 45 к илоскости изотропии.

Анализ формул (1) и (2) поклавьяет, что иси трудность заключается в расшифровке выражения / п. Здесь черточка сверху обозначает пременной оператор. При этом

$$G_2 = \frac{4}{E} - \left(\frac{1 - 2i_1}{E_1} + \frac{1}{E_2}\right)$$
 (7)

где оператор Е имеет нид (4). Все остальные величины постоянные.

Пользуясь фундаментальным свойством Э - операторов, установленным Ю. Н. Работновым:

$$\frac{1}{1-x\partial_x(x-3)} = \frac{1+x\partial_x(x-3)}{1+x\partial_x(x-3)}$$
 (8)

преобразуем выражение для f в ниду

$$f = I_n[1 - \nu_1 \mathfrak{I}(-\beta_1)] \tag{9}$$

где

$$z_{n} = z_{n}, \qquad z_{n} = 1 - z + 1 - z + 1 - z = \frac{4kE_{n}f_{0}}{2}$$

$$f_0 = \frac{a_{11}}{k_{70}} \tag{10}$$

$$y_{0} = z_{10}z_{20} - z_{10} - \left(\frac{4E_{11}}{E_{10}} - 1 - 2v_{10} - \frac{E_{10}}{E_{20}}\right)V_{20}z_{20}$$
 (11)

Второй сомножитель операторного выражения / п имеет нид

$$n = 1 \cdot 2k + m \tag{12}$$

TAC

$$\frac{E}{m} = \frac{\frac{E}{G_2} - 2v_2(1 - v_1)}{1 - v_1} \tag{13}$$

После преобразования выражения (13) получим

$$m = m \left[ 1 - \frac{4E_{10}x}{E_{1}(1-x)m_0} \Im_{1}(x-3) \right]$$
 (14)

где

$$m = \frac{\frac{4E_{10}}{E_{10}} - E_{10} \left( \frac{1 - 2v_1}{E_1} - \frac{1}{E_2} \right) - 2v_1 + 1}{1 - v_2}$$
(15)

Тогда

$$n = \frac{1}{2k - m_0 - \frac{E_{10}(1 - 1)}{E_{10}(1 - 1)}} \Im \left( -\frac{1}{2} \right)$$
 (16)

$$\overline{n} = 1 + \overline{h} + \overline{1} = \times \Im_{n}(-\overline{g}') \tag{17}$$

Здесь

$$3 - x$$
  $h - 2k - m$ ,  $x' = \frac{4xE_1}{E_1 \cdot (1 - x_1) n}$ 

Следонательно,

$$\overline{n} = n_0 [1 - x^2 \partial_x^2 (-\beta^2)]^{-1} = n_0 \left[ 1 - \sum_{i=1}^{n} (-1)^{n-i} \frac{(2n-3)!!}{2n!!} x^{2n} \partial_x^{2n} (-\beta^2) \right]$$
(18)

Злесь (-11!! 1.

Рассмотрим произпедение операторов

$$\int \overline{n} = (n_1 | 1 - x_1 \Im_{x_1}^{2}(-3)) \left[ 1 - \sum_{n=1}^{\infty} (-1)^{n-1} \frac{(2n-3)!!}{2n!!} \times {}^{n} \Im_{x_1}^{2n}(-3) \right] =$$

$$= \int n_2 \left[ 1 - x_1 \Im_{x_1}^{2}(-3) - \sum_{n=1}^{\infty} (-1)^{n-1} \frac{(2n-3)!!}{2n!!} \times {}^{n} \Im_{x_1}^{2n}(-3) \right]$$

$$= \times \sum_{n=1}^{\infty} (-1)^{n-1} \frac{(2n-3)!!}{2n!!} \times \Im_{x_1}^{2n}(-3) \Im_{x_2}^{2n}(-3)$$

$$= (19)$$

2 Mane tim AH ApaCCP, Mexamina, No. 3

Используя полученное в работе [5] выражение оператора

$$\mathfrak{I}''(-3') = \frac{(-1)^{-1}}{(n-1)!} \frac{\sigma^{-1}\mathfrak{I}_{n}(-3')}{\sigma^{\frac{n}{2}-1}} \tag{20}$$

равенство

$$\Im_{i}^{2}(-3^{i})\Im_{i}^{2}(-3) = \frac{(3^{i}-3^{i})}{(3^{i}-3^{i})} - \sum_{i} \frac{(i-1)!(3^{i}-3^{i})_{3^{i}-3^{i}-1}}{(-1)_{i-1}} \frac{\sigma_{i-1}\Im_{i}^{2}(-3^{i})}{\sigma_{i-1}\Im_{i}^{2}(-3^{i})}$$

полученное на основе использования фундаментального свойства Э<sup>\*</sup>-операторов методом математической индукции, а также выражение Э<sup>\*</sup>-оператора через функцию Миттаг-Леффлера [6] приходим к следующим равенствам:

$$\mathfrak{I}^{n}(-3') 1 = \frac{1}{3^{n-1}} \frac{(-1)^{n-1}}{(n-1)!} \frac{\mathfrak{I}^{n-1}}{\mathfrak{I}^{n-1}} \left( \frac{E_{1-2}(-3't^{1-n})}{(-3't^{1-n})} \right) \tag{22}$$

$$\mathfrak{J}'(-\beta_1)\,\mathfrak{J}_{n}''(-\beta')\,\mathbf{1} = \frac{1 - E_{1-1}(-\beta_1)^{n-1}}{\beta_1(\beta' - \beta_1)} - \sum_{i \neq j} \frac{1}{\beta_2(\beta' - \beta_1)^{n-1}} \\
- \sum_{i \neq j} \frac{(-1)^{i-1}}{(-1)!} \frac{\partial^{i-1}}{\partial \beta_1^{n-1}} \left( \frac{E_{1-2}(-\beta_1)^{n-1}}{\beta'} \right) \tag{23}$$

Равенство (21) можно преобразовать, перейдя к пределу при  $t \to \infty$ .

$$\frac{1}{\beta_1 \beta^{\prime n}} = \frac{1}{\beta_1 (\beta^{\prime} - \beta_1)^n} - \sum_{i=1}^n \frac{(-1)^{i-1}}{(i-1)! (\beta^{\prime} - \beta_1)^{n-1}} \frac{\partial^{i-1}}{\partial^{i-1}} \left(\frac{1}{\beta^{\prime}}\right) - \frac{1}{\beta_1 (\beta^{\prime} - \beta_1)^n} - \sum_{i=1}^n \frac{1}{(\beta^{\prime} - \beta_1)^{n-1}} \frac{\partial^{i-1}}{\partial^{i-1}} \left(\frac{1}{\beta^{\prime}}\right)$$
(24)

Следовательно, представление (23) принимает вид

$$\mathfrak{I}_{n}^{\prime}(-1)\mathfrak{I}_{n}^{\prime n}(-3')\mathfrak{I} = \frac{1}{\beta_{1}\beta^{\prime n}} - \frac{E_{1}(-3)}{\beta_{1}(3)} + \frac{n}{\beta_{1}(3)} + \frac{(-1)^{i-1}}{(i-1)!(3'-\beta_{1})^{n-i+1}} \frac{\sigma^{i-1}}{\sigma^{g'i-1}} \left( \frac{E_{1-n}(-3'\ell^{1-n})}{\beta'} \right)$$
(25)

Возвращаясь к произвелению операторов  $\overline{f}$   $\overline{n}$ , с учетом (22)—(25) получим

$$\frac{1}{f} = \int_{0}^{\pi} n_{0} \left[ 1 - \frac{x_{1}}{\beta_{1}} + \sum_{n=1}^{\infty} (-1)^{n-1} \frac{(2n-3)!!}{2n!!!} \left( \frac{x'}{\beta} \right)^{n} \right] \\
- \sum_{n=1}^{\infty} (-1)^{n-1} \frac{(2n-3)!!}{2n!!!} \frac{x_{1}}{\beta_{1}} \left( \frac{x'}{\beta} \right) + \frac{x_{1}}{\beta_{1}} E_{1} = 1 - \beta_{1} = 1$$

$$= \sum_{i=0}^{\infty} \left( \frac{(2n-3)!!}{2n!!} z^{i_n} \frac{(-1)^{n-1}}{(n-1)!!} \frac{\partial^{n-1}}{\partial^{n-1}} \left( \frac{z^{i_1+i_2}}{z^{i_2}} \right) + \frac{z^{i_1}}{z^{i_2}} \right) + \frac{z^{i_2}}{z^{i_2}} \left( \frac{(2n-3)!!}{z^{i_2}} - \frac{(-1)^{i_1+1}}{z^{i_2}} \frac{\partial^{i_2}}{\partial^{i_2}} \left( \frac{E_{1-\alpha} \left( -\frac{2}{3}t^{1-\alpha} \right)}{z^{i_2}} \right) \right) + \frac{z^{i_2}}{z^{i_2}} \left( \frac{(2n-3)!!}{z^{i_2}} - \frac{z^{i_2}}{z^{i_2}} \right) \right) + \frac{z^{i_2}}{z^{i_2}} \left( \frac{(2n-3)!!}{z^{i_2}} - \frac{z^{i_2}}{z^{i_2}} \right) + \frac{z^{i_2}}{z^{i_2}} \left( \frac{(2n-3)!!}{z^{i_2}} - \frac{z^{i_2}}{z^{i_2}} \right) \right) + \frac{z^{i_2}}{z^{i_2}} \left( \frac{(2n-3)!!}{z^{i_2}} - \frac{z^{i_2}}{z^{i_2}} - \frac{z^{i_2}}{z^{i_2}} \right) + \frac{z^{i_2}}{z^{i_2}} \left( \frac{(2n-3)!}{z^{i_2}} - \frac{z^{i_2}}{z^{i_2}} - \frac{z^{i_2}}{z^{i_2}} \right) + \frac{z^{i_2}}{z^{i_2}} \left( \frac{(2n-3)!}{z^{i_2}} - \frac{z^{i_2}}{z^{i_2}} - \frac{z^{i_2}}{z^{i_2}} \right) + \frac{z^{i_2}}{z^{i_2}} - \frac{z^{i_2}}{z^{i_2}} - \frac{z^{i_2}}{z^{i_2}} \right) + \frac{z^{i_2}}{z^{i_2}} - \frac{z^{i_2}}{z^{i_2}} -$$

Как известно [7], для рункции Миттаг-Леффлера существует следующее асимптотическое представление для достаточно больших z:

$$E_{1-a}(1-z) = \frac{1}{z^{\frac{1}{2}}(a)}$$
 (27)

$$E_{1-1}(-\beta t^{1-\alpha}) = \frac{1}{\beta t^{1-\alpha} \Gamma(\alpha)}$$
 (28)

Тогда, выражение в квадратных скобках последнего слагаемого равенства (26) можно упростить

$$\frac{E_{1}}{\theta_{1}(\beta'-\beta_{1})^{n}} = \sum_{i} \frac{(-1)^{i-1}}{(i-1)!} \frac{\sigma^{i-1}}{(\beta'-\beta_{1})^{n-i+1}} \frac{\sigma^{i-1}}{\sigma \beta^{i-1}} \left( \frac{E_{1-i}(-\beta't^{1-i})}{\beta'} \right) = \frac{1}{\frac{1}{2}\Gamma(\alpha)} \left[ \frac{1}{\beta_{1}} \frac{1}{\beta_{1}} \frac{(-1)^{i-1}}{(\beta'-\beta_{1})^{n-i+1}} \frac{\sigma}{\sigma \beta'} \left( \frac{1}{\beta^{i}} \right) \right] = \frac{1}{\frac{1}{2}\Gamma(\alpha)} \left[ \frac{1}{\beta_{2}} \frac{\sigma}{\sigma \beta_{1}} \left( \frac{1}{\beta'} \right) + \sum_{i=1}^{n} \frac{\sigma}{\sigma \beta_{1}} \left( \frac{1}{\beta'} \right) \right] = \frac{1}{\frac{1}{2}\Gamma(\alpha)} \left[ \frac{1}{\beta_{2}} \frac{\sigma}{\sigma \beta_{1}} \left( \frac{1}{\beta'} \right) + \sum_{i=1}^{n} \frac{\sigma}{\sigma \beta'} \left( \frac{1}{\beta'} \right) \right] \quad (29)$$

Легко заметить, что

$$\frac{1}{(\beta^{n}-\beta_{1})} = \frac{1}{\sigma^{n}} \left(\frac{1}{\beta_{1}}\right) = \sum_{i=1}^{n} \frac{1}{(\beta^{n}-\beta_{1})} = \frac{1}{\sigma^{n}} \left(\frac{1}{\beta_{1}\beta^{n}}\right) = \frac{1}{\sigma^{n}} \left(\frac{1}{\beta_{1}\beta^{n}}\right)$$

Исходя из (28) (30), преобразуем выражение (26) к следующему виду

$$\frac{1}{t^{1-\frac{1}{2}}(2)} \sum_{i=1}^{n-1} \frac{(2n-3)!!}{2n!!} \frac{\mathbb{Z}\vartheta}{\vartheta\beta^{i}} \left(\frac{1}{\beta^{in}}\right) x^{n} \\
= \sum_{i=1}^{n-1} \frac{(2n-3)!!}{2n!!} \frac{1}{(2n-3)!!} \left|\frac{\vartheta}{\vartheta\beta_{i}} \left(\frac{1}{\beta^{in}}\right) + \frac{\vartheta}{\vartheta\beta_{i}} \left(\frac{1}{\beta^{in}}\right)\right| \tag{31}$$

Следовательно,

$$\int n = f_{0}n_{0} \left\{ \left[ \left( 1 - \frac{x_{1}}{\beta_{1}} \right) \right] \sqrt{1 - \frac{x_{1}}{\beta'}} - \frac{1}{t^{1-\alpha} \Gamma(z)} \frac{\partial}{\partial \beta_{1}} \left( \frac{x_{1}}{\beta_{1}} \right) - \frac{1}{t^{1-\alpha} \Gamma(z)} \frac{\partial}{\partial \beta_{1}} \left( \frac{x_{1}}{\beta_{1}} \right) \right] - \frac{1}{t^{1-\alpha} \Gamma(z)} \frac{\partial}{\partial \beta_{1}} \left( \frac{x_{1}}{\beta_{1}} \right) = \frac{(2n-3)!!}{2n!!} \frac{x_{1}}{\beta_{1}} \frac{x_{1}}{\beta'^{n}}$$

$$\frac{1}{t^{1-\alpha} \Gamma(z)} \frac{\partial}{\partial \beta_{2}} \sum_{i=1}^{n} \left[ -1 \right]^{-1} \frac{(2n-3)!!}{2n!!} \frac{x_{1}}{\beta_{1}} \frac{x_{1}}{\beta'^{n}} \right] = f_{0}n_{0} \left( 1 - \frac{x_{1}}{\beta_{1}} \right) \left[ 1 + \sum_{i=1}^{n} (-1)^{n-1} \frac{(2n-3)!!}{2n!!} \frac{x'^{n}}{\beta'^{n}} \right] + \frac{1}{t^{1-\alpha} \Gamma(z)} \frac{\partial}{\partial \beta_{1}} \left( 1 - \frac{x_{1}}{\beta_{1}} \right) \sum_{i=1}^{n} (-1)^{i-1} \frac{(2n-3)!!}{2n!!} \frac{x'^{n}}{\beta'^{n}}$$

$$= f_{0}n_{0} \left( 1 - \frac{x_{1}}{\beta_{1}} \right) \sqrt{1 + \frac{x'}{\beta'}} + \frac{1}{t^{1-\alpha} \Gamma(z)} \frac{\partial}{\partial \beta_{1}} \left( 1 - \frac{x_{1}}{\beta_{1}} \right) \sqrt{1 + \frac{x'}{\beta'}} + \frac{1}{t^{1-\alpha} \Gamma(z)} \frac{\partial}{\partial \beta_{1}} \left( 1 - \frac{x_{1}}{\beta_{1}} \right) \sqrt{1 + \frac{x'}{\beta'}} + \frac{1}{t^{1-\alpha} \Gamma(z)} \frac{\partial}{\partial \beta_{1}} \left( 1 - \frac{x_{1}}{\beta_{1}} \right) \sqrt{1 + \frac{x'}{\beta'}}}$$

$$(32)$$

Окончательно будем иметь

$$\overline{f} \, \overline{n} = f_0 n_0 \left( 1 - \frac{\varkappa_1}{\beta_1} \right) \sqrt{1 + \frac{\varkappa'}{\beta'}} + \frac{1}{t^{1-\alpha} \Gamma(\alpha)} \frac{\partial}{\partial \beta_1} \left( 1 + \frac{\varkappa_1}{\beta_1} \right) \sqrt{1 + \frac{\varkappa'}{\beta'}} + \frac{1}{t^{1-\alpha} \Gamma(\alpha)} \frac{\partial}{\partial \beta'} \left( 1 - \frac{\varkappa_1}{\beta_1} \right) \sqrt{1 + \frac{\varkappa'}{\beta'}} + \frac{1}{t^{1-\alpha} \Gamma(\alpha)} \frac{\partial}{\partial \beta'} \left( 1 - \frac{\varkappa_1}{\beta_1} \right) \sqrt{1 - \frac{\varkappa'}{\beta'}}$$
(33)

при  $t \to \infty$ 

$$(\vec{f} \, \vec{n}) = f_0 n_0 \left(1 - \frac{z_1}{\beta_1}\right) \sqrt{1 + \frac{z'}{\beta'}}$$

$$(\vec{f})_{\infty} = f_0 \left(1 - \frac{z_1}{\beta_1}\right)$$

$$(n) = n_0 \left[ 1 - \frac{z}{z} \right] \tag{34}$$

Для определения напрузок на крепь в любой момент существования горной выработки следует для этого момента вычислить выражение (33) и, подставив его и формулу (1), получить искомые величины.

Конечные установнышиеся величний нагрузок могут быть определены из выражения

$$\frac{1}{2!^{2}} \left[ -a \left( 1 - \frac{1}{\beta_{1}} \right) \right] = \frac{1}{8!} \left[ a_{1} a_{2} C \left( 1 - \cos 2\theta \right) + g_{2} a_{1} k C \left( 1 - \cos 2\theta \right) \right] + g_{2} a_{1} k C \left( 1 - \cos 2\theta \right) \right] = f_{0} \left( 1 - \frac{1}{2!} \left[ a_{2} a_{2} C \left( 1 + \cos 2\theta \right) - G_{2} a_{2} \right] \left( 1 + \cos 2\theta \right) \right] + g_{1} C^{2} \left( a_{12} k - a_{22} \right) \left( 1 - \cos 2\theta \right) \right] + \left( 1 - \cos 2\theta \right) = C^{2} \left( 1 - \cos 2\theta \right)$$
(35)

Анализ зависимостей (33) и (1) показал, что нагрузки на жесткую крепь, в основном, зависят от глубины расположения выроботки, времени ее существования, а также от упругих ( $E_1$ ,  $E_2$ ,  $v_0$ ,  $C_2$ ) и реологических (v' и v) харая геристик вмещающих пород и от их анизотропни, которая характеризуется параметрами (k и m). (Упругие и реологические характеристики и анизотропные свойства горных пород определяются и дабораторных условиях).

При прочих равных условиях с увеличением глубины расположения выработки нагрузки на крепь увеличинаются.

В породах с затухнющей ползучестью нагрузки на жесткие крепи с течением времени увеличиваются, однако небеспредельно и при  $t \to \infty$  имеют конечную величину, определяющуюся выражением (35).

Даепропетровский горими институт

Поступила 15 VII 1960

4. \$, 91,000,000, 0, 5, 201,05, 0, 6, 002,04,050

208ՈՒԿ ՕԿԵՐԱՏՈՐՆԵՐԻ ՖՈՒԵԵՑԻԱՆԵՐԻ Եվ ԱՆԻԶՈՏՐՈՎ ՄԱՐՄԻՆՆԵՐԻ ՍՈՂՔԻ ՏԵՍՈՒԹՅԱՆ ՄԵՋ ՆՐԱՆՑ ԿԵՐԱՌՈՒԹՅՈՒՆՆԵՐԻ ՄԱՍԻՆ

Ինանդրալա-օպնրատորային մեխողի հման վրա մասանդականության տիպի ֆիզիկական կանումումության առկայության դնպրում, դիտարկվում են հատուկ ոնոլոգիական օպերատորների ֆունկցիանների կիրառություն լումները կոչու էլիպտական ննրդրված րով արանավերսալ-իդոււրող սայի լարվածային դեֆորմասիոն վիճակների որոշման իւնգրում և ված իւնգիրը մոդուլաց-նում է լնոնային ապառանանում ամբացում սիստեմը, լեռնային ապառի սողջի դնպչում։

### V. T. GLUSHCO, A. N. ZORIN, M. J. ROZOVSKY

# ON FUNCTIONS OF SPECIAL OPERATORS AND THEIR APPLICATION TO THE THEORY OF CREEP OF ANISOTROPIC SOLIDS

# Summary

A method of integral operators and initial physical dependences are used to examine functions or special rheological operators applied in the problem of a stressed plate with an elliptical inclusion, modeling thus an excavation-timbering system during rock creep.

#### ARTEPATYPA

- Работней Ю. Н. Некоторые попросы теприи получести. Вестия МГУ, № 10, 1948.
- С. Г. Тепретическое нега (оявине напряжений и упп, том виизотропном массиве аблязи подземной амработки алашитического сечения. Тр. по попр. горп. давления, идопления горпых пород и негодин маришейдерских работ ВНИМИ, со. 45, 1962.
- Брымголия Г. И. К. расчету па полкучесть пластинов из стенлопластиков. Ж. прика механ, и техн. фин., № 1, 1963.
- 4. Колтуния A ,  $g_{X}$  H. Англия ползуч... с из проиного стеклопласти в. Вестник МГУ, герия матем, и мех., № 5, 1953.
- Ризовении М. И. Об едном сполеть степени пиального оператора и его приложение и решению упруго-паслед гвенных дапамических чадам. Со. "Ползучесть и длягельнам грочность", СО АН — 1-63.
- 6. Розевский М. И. О некоторых особение: на упруго-ниследственных сред. Из-АН СССР, мех. и маш., № 2, 1961.
- Розовский М. И. Нелипедные интегрально-операторные уравнения ползучести и чадача в вручении инлинары при больших у лах хрутки. Изп. АН ГССР, ОТН, Механика и машиностраение, № 1 1959.

#### э. л. манукян

# О НЕЛИНЕЙНОЙ ПОЛЗУЧЕСТИ БЕТОНА ПРИ ЦЕНТРАЛЬНОМ СЖАТИИ

Ряд обстоятельсти (переход на расчет конструкций по предельным состояниям, широкое распространение предварительно напряженного бетона), при которых приходится иметь дело с очень иысокими относительными напряжениями, потребовал большого внимания к нелинейной ползучести бетона.

Распространению теории Маслова—Арутюняна на нелинейную область посвящены работы П. И. Васильева, К. С. Карапетяна, М. М. Манукяна, А. А. Гвоздева, Н. И. Катина и др. На теории старения, существенно облеглающей решения уравнений ползучести, основаны работы И. И. Улицкого.

Разработка нелинейной теории ползучести в работах [1], [2], [11], [13] основывается на гипотезе аффинного подобия криных ползучести при различных напряжениях. На нелинейную область распространяется также приближенно подтверждающийся в случае монотонно изменякимихся напряжений принцип наложения.

В соответствии с гипотезой аффинного подобия кривых ползучести и принципом наложения зависимость между напряжениями и деформациями ползучести в нелипейной области можно представить и случае отсутствия старения в следующем виде [5]:

$$\frac{z(t)}{E} = \int_{-\infty}^{t} \frac{\partial}{\partial z} F'(t-z) z[z(z)] dz$$
 (1)

rae

$$\varphi\left(z\right) = \int_{0}^{z} \varphi^{*}\left(z\right) dz$$

Это выражение соответствует нелинейной теории наследственной упругости и хорошо описывает деформирование бетона при возрастающих напряжениях.

Данная статья поснящена вопросу приемлемости гипотезы аффинного подобия кривых ползучести и принципа наложения, которые существенно облегчают определение величины деформации ползучести, а также нозможности использопать зависимость (1) для описания ползучести стареющего бетона при высоких относительных напряжениях. В статье дан анализ работ Н. И. Катина, К. С. Карапетяна, а также

опытов, проведенных в лаборатории кафедры инженерных конструкция АПИ им. М. И. Калинина в 1965 г.

Испытанию подвергались 3 серии образцов в возрасте соответственно 1, 2 и 3 месяца. В каждой серии один образец испытывался на ступенчатую нагрузку, остальные на постоянную нагрузку. Измерялись также деформации от колебаний температуры недагруженного образца.

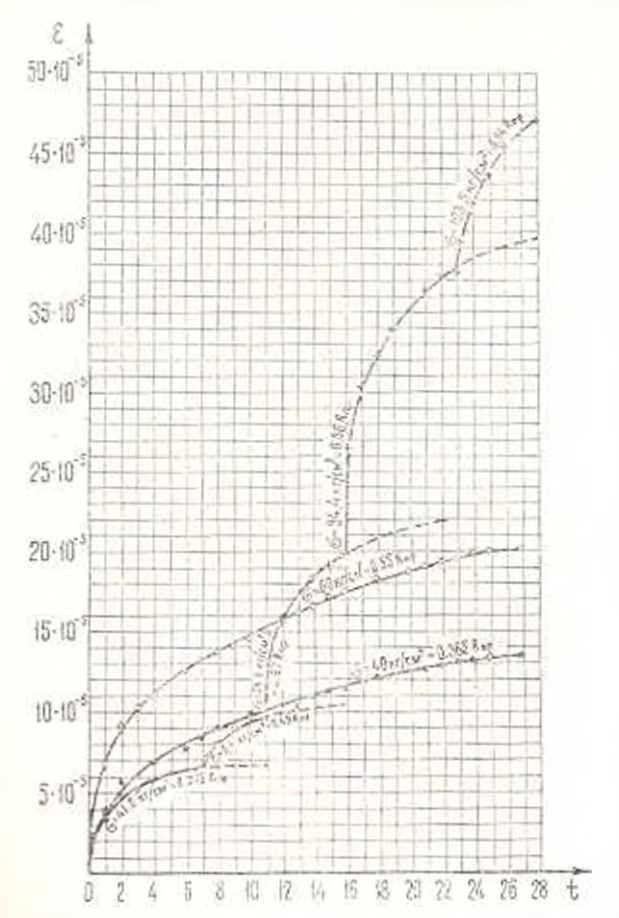
Образцы, размером 70—70—300 мм, изготовлядись в деретянной опалубке. Состав бетона: Ц:П:Щ—1:3.33:4.84 по весу. Водоцементное отношение—0.8. После бетонирования образцы выдерживались неделю в опалубке во влажных условиях, затем распалубливались
и после непродолжительного хранения в обычных условиях для подсушивания поверхности покрывались нароизолицией по всем граням. С
этой целью применядась эпоксидная смола ЭД-6, гидро- и пароизолирующие свойства которой хорошо известны [15]. В качестие отвердителя применялся полиэтиленполиамии. Надежность гидроизоляции показало также контрольное взвещивание кубика 70—70—70
покрытого эпоксидной смолой с отвердителем. Пленка в эпоксидной
смолы не имела сцепления с поверхностью образцои и не препятствонала их свободному деформированию.

Испытания на ступенчатую нагрузку производились на рычажном прессе, на постоянную нагрузку - на пружинных прессах. Давление от рычагов и винтов на образцы передавалось через металлические плитки, между которыми, и лунках, находился шарик. Деформации нэмерялись рычажными тензометрами Гугенбергера, которые станилися по всем граням образца на бетопную поверхность, для чего в пароизоляции вырубались "окна" размерами приблизительно 10 м.и. Центрирование образнов производилось по показаниям тензометров, путем приложения небольших пробных нагрузок. Температура в помещении колебалась от 14" до 24. В первый день загружения показания брались через 15 мин, 30 мин, 1, 2, 3, 6 часов, и дальнейшем раз в сутки. По замеренным деформациям ползучести построены графики и координатах t (фиг. 1, 2, 3)\*, Вычислялось изменение нелинейности леформаций ползучести с упеличением напряжений при ступенчатом  $\frac{3}{\epsilon_n}$  , FAC W -n COOTHETприложении нагрузки по соотношению

ственно величина первой ступени и соответствующая ей деформация ползучести, а  $\Delta z_n$  и  $\Delta z_n$  и гоответствующие приращения последующая ступень. Результаты сведены в табл. 1-а и 1-б. Для образцов, загруженных постоянной нагрузкой, вычислялось соотношение соответствующих деформаций ползучести (табл. 2).

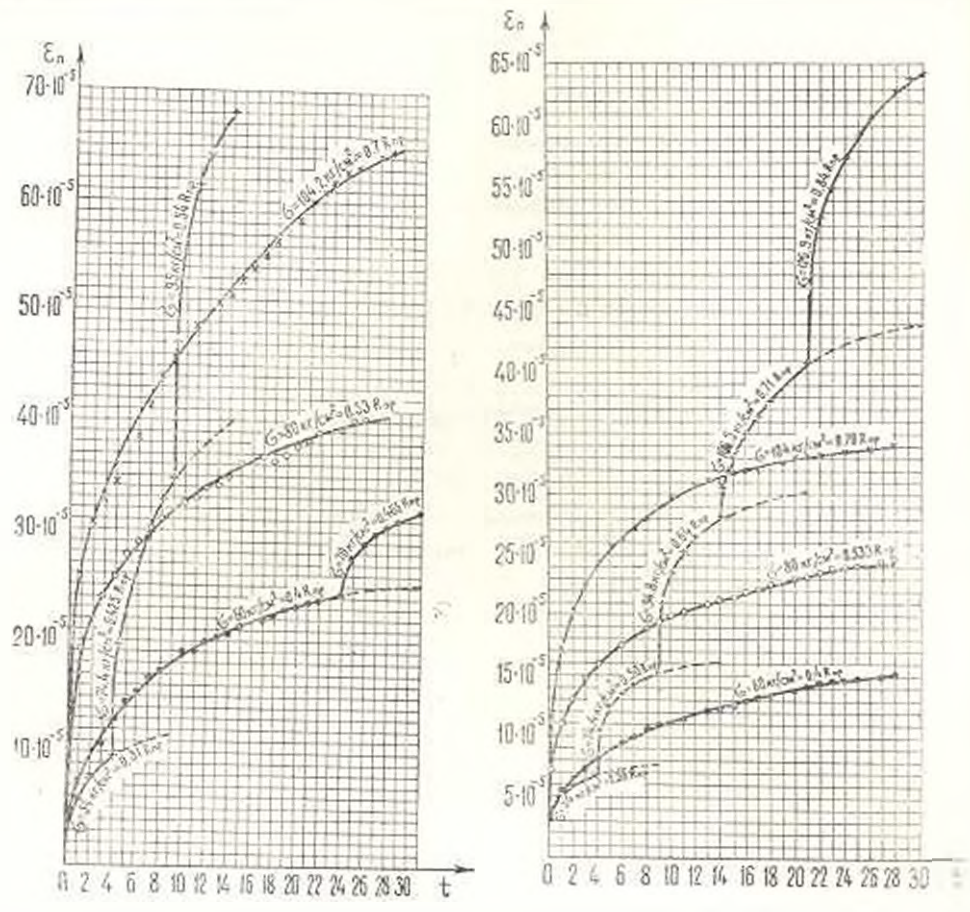
Во II серии образец, загруженный ступенчатой нагрузкой, деформировался почень большой скоростью, к тому же величина деформоции, начаная со II ступени была несравненно больше, чем у других образцов; прочность и модуль образца так че оказались больше. Поэтому данные этого образца в дальнейшем не использовались.

Из таблии видно, что изменение нелиневности со временем связано с возрастом бетона в момент дагружения и с величиной относительного напряжения. У образцов, загруженных в возрасте одного месяца, нелинейность уменьшается со временем вплоть до — 0.858, причем особенно значительное уменьшение наблюдается в первые 2—3 дня, в дальнейшем процесс выравнивается и графически выражается прямой, почти параллельной оси 1. При болсе высоких относительных папряжениях пелинейность со временем значительно увеличивается. У



Фиг. 1. Кривые полаучести 1 серия (возраст — 1 месяц).

образцов, загруженных в более зрелом возрасте (2 и 3 месяца) сравнительно небольшой относительной нагрузкой (0.5  $R_{\rm cl}$  и 0.533  $R_{\rm cl}$ ) нелинейность практически не изменяется, котя и имеет тенденцию к уменьшению. Это продолжается вплоть до 0.7 0.75  $R_{\rm cl}$  и после чего с течением премени нелинейность увеличивается. Таким образом, мижно сделать вывод, что нелинейность деформаций ползучести меляется с увеличением относительного напряжения и может либо уменьшаться, либо увеличиваться, а при какой-то величине относительного напря-



Фи:. 2. Крипые полаучести II серии (воз-Фиг. 3. Крипые полаучести III серии (возряст — 2 месяца).

Изменение нелименности деформаций полаучести с увеличением папряжений при гупенчатом эвгружении

	ł cep	RR		Таблі	uga Za		II ce	киф		Табл	u <u>u</u> a 16
Bpens n. 13 Kita	= 0.375 Rup	- 049 R	= 0.672 R <sub>ef</sub>	1-0.858 R	z - 1594 R <sub>kep</sub>	Время в сут-	0.16 R.p	0.50 P	= 0.64 R <sub>01</sub>	5 - 0.71 Rap	5 m B, 84 R
1	1	1.32	3.15	5.86	4.7	1	1	2.92	4 50	4.30	6.23
2	1	1.385	3.02	5.06	5.1	2	1	2.91	4.60	4,95	6.36
3	1	1.57	3.11	5.19	5.85	3	5.1	2.93	4.62	5.42	6.51
4	1	1.55	2.07	5.00	6.0	4	1	2.83	4.47	5.58	6.46
5	-		2.97	5.00	6.3	5	1	2.84	4.42	6,00	6.60
6	-			5.00		6	_		_	6.25	6.74
1	-	-	-	4.47		7		-		6.54	6.90

$T\alpha$	6.	544	Li	£	2
-----------	----	-----	----	---	---

	Изменение с	OTROU	enna de	еформи	ព្រះ សារ	аяучест	H ac o	ремени		
	1-1	1	2	3	#	5	10	15	<b>2</b> 0	28
Copum J	$\frac{s_n (\tau - 0.35 R_{\rm up})}{s_n (\tau = 0.365 R_{\rm up})}$	1.78	1.06	1.74	1.54	1.59	1,51	1 53	1.50	1 511
Cepum II	$\frac{= 0.53 R_{\rm up}}{(-= 0.1)}$	2,52	2 32	2.20	2.02	1.94	1.72	1.68	1.63	
Copy	(:= 0.7 R)	3.38	3 33	3.11	2.57	2.77	2.50	2.50	2.50	
	$= \frac{0.533  R_{\rm np}}{0.1  R_{\rm sp}}$	2.10	2 09	2.05	1 95	1.91	1.80	1.72	1.67	1 63
- da	0.7 R <sub>1</sub> )	3,32	3.30	3 17	2.98	2,02	2,50	2.57	2.41	2,27

жения она остается постоянной. Эта величина зависит от возраста бетона и и мент загружения. Разумеется, на ото явление оказі вает влияние и другие фякторы (состав бетона, вид цемента и заполниталей, температурно-влажностные условия и т. п.), но их влияние не изучалось.

На основании экспериментов, проведенных в НИИЖВ, Н. И. Катин пришел к выводу, что аффинного подобия кривых солзучести при высоких сжимающих напряжениях не существует [8]. В его опытах образцы и возраст 28, 50 и 140 дней с пароизолированными полерхностями подвергались дейстнию постоянных напряжений и довольнобширном диан; зоне от 0.3 R до 0.9 R. (R. прочность бет за к моменту загружен; в) и выдерживались пол нагрузкой 140 дней.

Степень нелинейности характеризоналась неличиной

которая с течением времени убывала. Особенно интенсивное убывание происходило и первые 10—20 дней и особенно у образцов, загруженных в возрасте 28 и 50 дней, гораздо меньше у образцов, загруженных и возрасте 140 дней. Основываясь на этом. Н. И. Катин считает, что при высоких относительных напряжениях кризые перестав быть подобными. Однако, если в его опытах брать за исходиую кривую, соответствующую относительным напряжениям 0.61 (во II серии)

или 0.75 (в III серпи) вместо 0.3, графики соотношений

и  $\frac{\pi}{s_{n} = 0.75} \frac{\pi}{K_{np}}$  поимут вид. близкий к прямым линиям (табл. 3) и 36).

Таблива за Изменение на премени отношения удельных деформаций поличести бетона к удельным деформациим при става R<sub>пр</sub> (по опытам Н. И. Катина, 11 серия).

1-1	5	10	20	40	60
$z_{\rm H} z = 0.91 \ R_{\rm HP}$ $c_{\rm H} z = 0.61 \ R_{\rm HP}$	2,33	2.24	2.38	2.25	2.28
$\epsilon_{h}/z = 0.88 \ R_{\rm np}$ $\epsilon_{a} z = 0.61 \ R_{\rm np}$	2.00	1.87	1.95	1.86	1.92
$\epsilon_n z = 0.61 R_{\rm up}$ $\epsilon_n z = 0.61 R_{\rm up}$	1	1	1	1 .	1
$\begin{aligned} \varepsilon_{\rm e}/z &= 0.3 \ R_{\rm ap} \\ \varepsilon_{\rm e}/z &= 0.61 \ R_{\rm ap} \end{aligned}$	0.42	0.49	0.50	0.55	0.62

Тиблица 3 Поменение во премени отношения удельных дефермоций полоучести бетона в удельным деформациям при 0.75  $R_{\rm up}$  (по опытам Н. И. Катина, III сеоня).  $\tau=50$  дней

	1:	2.5	5	39	30
	0.92 &	2.66	2.43	2.03	1.98
	0.75 R <sub>up</sub>	1	1	1	1
- A =	0.48 R, 0.75 R	0.40	0.48	0.52	0.54
	0.3 R <sub>1.5</sub>	0,34	0.40	0.47	0.50

Та же картина наблюдается при обработке опытов К. С. Карапетина. Сраниинались отношения  $\frac{1}{c_a(z R_n = 0.75)}$  для образцов на старого бетома. Результаты сведены в табл. 4, из которой видио, что и в опытах К. С. Карапетина нарушение подобия кривых ползучести и снижение нелинейности с увеличением длительности нагрузки непелико.

Тоблици 4

Изменение по премени отношения деформацый польучести бетона к деформациям при : — 0.75 Ru (по опытам К. С. Карапстина)

		7 183	Апей			1 93	дией	
l—:	4	20	60	120	4	20	40	60
$\frac{\varepsilon_n (z = 0.95 \ R_{11})}{-n (z = 0.75 \ R_{11})}$	1.88	1.65	1.65	1.72	_			
$\frac{z_n (z = 0.90 R_n)}{z_n (z = 0.75 R_n)}$	1.5	1,35	1.55	1.33	1 18	1.48	1.50	1.37
$\frac{z_n \left(\sigma = 0.75 \ R_0\right)}{z_n \left(\sigma = 0.75 \ R_0\right)}$	1	ı	1	1	1	ı	1	1
$\frac{z_n (z - 0.50 R_u)}{(z = 0.75 R_u)}$	0.415	0.434	(1.50	0,47	0.47	0.52	v 55	0.52

Таким образом, зависимость (1) можно применять в тех случаях, когда старение невелико, однако, для уменьшения погрешностей, торые получаются вследствие имеющего место отклонения от закона подобия, за график функции  $F(t-\tau)$  надо брать кривую, подобную кривой ползучести при напряжениях 0.6-0.7 K

Если испытывать параллельно два одинаковых образца, один при постоянных сжимающих напряжениях г, другой при ступенчатом загружении с величиной ступени  $\Delta z_i$ , причем  $\Delta \Delta z_i$  то можно убедиться в присмлемости принципа наложения, т. е. при отсутствии старения

$$\varepsilon_n(t, t-z_0)$$
 is  $(\Delta z_1, t-z_1)$  upu  $t-z_1$ .

Как известно, для стареющего бетона вязмен функции величины напряжения  $\tau(z)$  предложено использовать функцию величины относительных напряжений  $\Phi\left(\frac{1}{R_{np}}\right)$  и записать, с учетом переменности модуля, зависимость между деформациями ползучести и напряжениями в таком виде [3]:

$$\varepsilon(t) = \frac{\varepsilon(t)}{E(t)} - \int_{0}^{t} \varepsilon(\tau) \frac{\partial}{\partial \tau} \left| \frac{1}{E(\tau)} \right| d\tau - \int_{0}^{t} \Phi \left| \frac{\varepsilon(\tau)}{R_{\text{ap}}(\tau)} \right| \frac{\partial}{\partial \tau} C(t, \tau) d\tau$$
 (2)

Но, так как в этом выражении не учитывается изменение отношения  $R_{\rm top}$  с течением времени (в результате увеличения  $R_{\rm top}$ ), было пред-

ложено учитывать слияние ведичины в выражении скорости роста деформаций ползучести при постоянных илиряжениях [4], кото-

рая принимается в виде произведения двух функций — функции длительности загружения  $f'(\eta - \tau)$  и функции возраста и величины отиссительного напряжения  $\frac{\sigma(\tau)}{k(\tau)}$  в момент измерения скорости роста деформаний полоччести

$$\varepsilon_{\alpha}(\gamma_{i}) = \varphi \left[ \frac{\sigma(\gamma)}{R(\gamma)} \cdot \gamma_{i} \right] f'(\gamma_{i} - \gamma)$$
 (3)

При постоянных напряжениях деформация ползучести определяется по формуле

$$=(t, \tau_0) = \int_{\tau_0}^{t} \tau \left| \frac{\tau(\tau_0)}{R(\tau_0)} - \tau_0 \right| f'(\tau_0 - \tau_0) d\tau$$
 (4)

Можно распространить эту формулу на случай переменного во времени напряжения (придерживаясь принципа наложения)

$$\varepsilon_{+}(t) = \int_{-\infty}^{\infty} \left[ z_{+} \left[ E_{+} \left[ \gamma_{i} \right] f'\left( \gamma_{i} - z \right) d\gamma_{i} dz \right] \right]$$
 (5)

В тех случаях, когда старение закончилось или им можно прснебречь, выражение (4) принимает вид

$$\varepsilon_n(t, \tau_0) = \varphi \left| \frac{\varepsilon(\tau_0)}{R} \right| f(t - \tau_0)$$
 (6)

Учитывая то обстоятельство, что кривые функций - (1) и изменения относительной прочности почти сояпадают, влияние старения можно выразить через функцию относительной прочности [5]

$$s_{n}\left(t, \tau_{0}\right) = \int \varphi \left[\frac{s\left(t\right)}{R\left(\tau_{i}\right)}\right] f'\left(\tau_{i} - \tau_{0}\right) d\tau_{i} \qquad (5)$$

Возможность применения выражения (7) для описания ползучести стиреющего бетона при высоких относительных напряжениях проверялась анализом результатов, полученных Н. И. Катиным и I серин своих экспериментов [8].

Из этого выражения следует, что приращение дерормаций ползучести 4 , образовавшееся за некоторый малый отрезок времени 4, можно представить и ниде

$$\Delta z_n = z_n \left( \gamma_i + \Delta \gamma_i \right) - z_n \left( \gamma_i \right) \approx \varphi \left[ \frac{z \left( \tau_0 \right)}{R \left( \gamma_i + \frac{\Delta \gamma_i}{2} \right)} \right] f' \left( \gamma_i - \frac{\Delta \gamma_i}{2} - \tau_0 \right) \Delta \gamma_i \quad (8)$$

Как это видно из (8), при равных длительностях приложения нагрузки т<sub>о</sub> и одинаковых интервалах времени 41, но разных от-

носительных напряжениях  $R(\tau)$  приращение деформаций ползучести  $\Delta \epsilon_n$  за время — должно быть пропорционально величине функции Согласно (7), увеличение длительности действия нагрузки не должно

ванять на значения функции Э.

При анализе опытов Н. И. Катина рассматривались отношения приращений

$$\frac{\Delta \varepsilon_{n}(\sigma)}{\Delta \varepsilon_{n}(\sigma = 0.61} \frac{}{R_{np}} = \frac{\bar{\tau}\left(\frac{\sigma}{R_{np}}\right)}{\bar{\tau}\left(\frac{\sigma}{R_{np}} = 0.61\right)}$$

Как видно из табл. За, величина функции  $\tau(-\frac{1}{K})$  с увеличением длительности действия напряжений убывает, если  $\tau = 0.61~R_\odot$  и возрастает, если  $\tau < 0.61~R_\odot$ . Это явление объясимется влиянием длительности загружения на степень нелинейности, обнаруженным Н. И. Катиным. Но изменение величины функции относительных напряжений с увеличением длительности загружения сранцительно невелико (около  $20^0/_0$ ) и не протиноречит возможности использования ныражения (7).

Для определения возможности применения зависимости (4) обрабатывались результаты экспериментов К. С. Каранетяна [9], [10].

В случае старого бетона, в котором старение закончилось, зависимость (4) переходит в выражение (6), причем для относительных напряжений  $\frac{1}{R_{np}}$  од сде справедлива линейная зависимость, опо

еще более упрощается и принимает вид

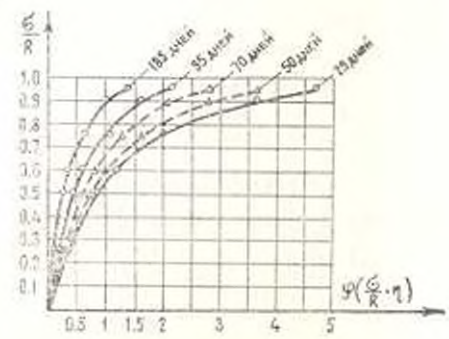
$$z_n(t, z_0) = \frac{z(t_0)}{\kappa} f(t_0 z_0) \tag{6a}$$

Располагая экспериментальной крипой полнучести старого бетона при невысоких напряжениях, нетрудно построить график функции — ), разделив ординаты этой кривой на педичину относительного напряжения. При обработке экспериментальных данных К. С. Карапетяна график функции / был построен по кривой — 95 дней, — = 0.5 (фиг. 4).

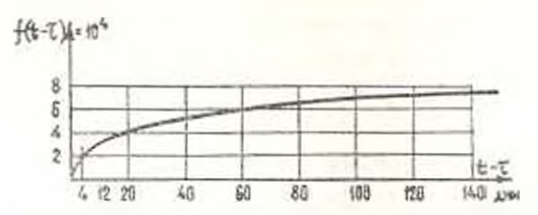
В соответствии с (б) значения функции  $\frac{1}{2}$   $\frac{1}{R}$  определямись как отношения деформаций ползучести, бразованнихся за первые четыре дня с момента загружения, к ведичине  $\frac{1}{R}$  ( $\frac{1}{R}$ ).

Предполагалось, что влияннем старения за время 4 суток можно пренебречь, если возраст то не менее 29 дней. Для возраста 7 и

14 суток график  $z\left(\frac{\pi}{R}\right)$  был принят таким же, как и для возраста 29 суток (фиг. 5).



Фиг. 4. Графики функций  $\phi\left(\frac{\sigma}{R}, \eta\right)$  для различных жилчений возрасто (к опытах К. С. Карапетяна).



Фиг. 5. График функции f(t-z) (к опытам K. С. Каранетяна).

Имен график функций  $f(t-\tau)$  и р  $\frac{\pi}{R(t)}$ ,  $\eta$  а также график роста прочности K(t), можно построить криные ползучести по зависимости (4) для разных возрастой загружения и при разных величинах относительного напряжения и момент загружения. При этом деформации ползучести определяются по приближенной формуле

$$= (t_i, \tau_0) = \sqrt{\tau} \left[ \frac{\tau(\tau_0)}{R(\tau_0)} - \tau_i \right] f'(\tau_0 - \tau) d\tau \ge \sum_i \left[ \frac{\tau(\tau_0)}{R(\tau_0)} + \tau_0 \right] = \Delta_i f(\tau_0 - \tau)$$

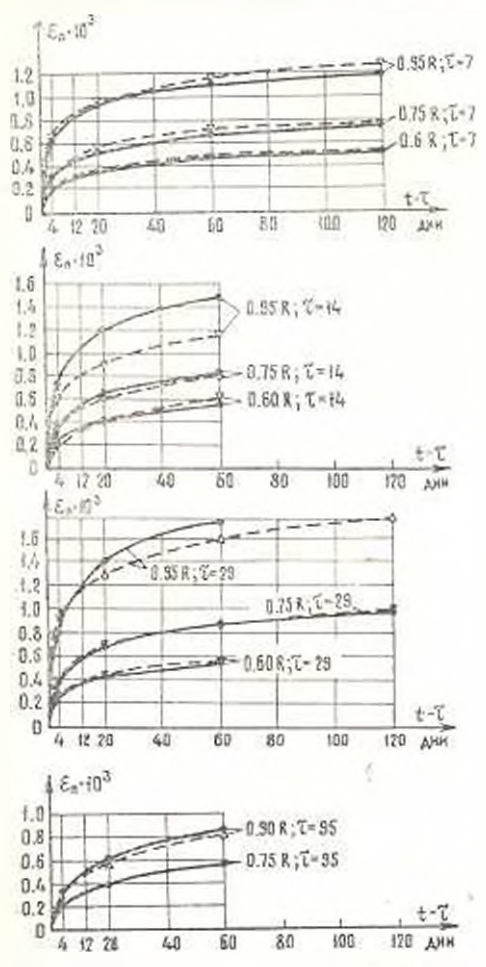
F,3 @

$$\Delta_i f = f(t_0 - t_0) + f(t_{0-1} - t_0), \quad t_{0-1} = \frac{t_0 - t_{0-1}}{2} + t_{0-1}$$
 (9)

По определенным таким образом величинам деформаций ползучести построены графики (фиг. 6) для величин относительных напряжений 0.95R, 0.75R и 1.6 — в возрасте 7, 14, 29 и 95 суток. Пунктиром панесены на графики экспериментальные криные ползучести. Несмотря на довольно значительные расхождения между отдельными крипыми, в

общем наблюдается хорошее совпадение расчетных и экспериментальных кривых.

Таким образом, хотя зависимость (4) не отражает полностью картину деформирования при высоких сжимающих напряжениях, исе же ею,



Фиг. в Кривые ползучести г при постояниям для различных зивчений возраста и относительного илпражения. Сплошными липпями показапы кришые, построениес по формуле (4), где функции 7 и f доны на фиг 4, 5 (к онытам К. Карапетина).

Асинисрадский политехнический тутители

Поступкал 22 VI 1966

#### **է**, է ՄԱՆՈՒԿՏԱՆ

#### ԿԵՆՏՐՈՆԱԿԱՆ ՍԵՎՄԱՆ ԺԱՄԱՆԱԿ ԲԵՏՈՇԻ ՈՉ ԳԾԱՅԻՆ ՍՈՂՔԻ ՄԱՍԻՆ

## Ամփոփում

արվածում հետադրավում է ու գծալին տիրույիում աֆինչան նմանութերան հիպոթների և վերադրման սկղրունքի կիբառման հնարավորութեունը։ Ցուլց է արված, որ բեռնավորման երկարատես թերան ֆունկցիայի համապատասիան ընտրութելուն և ոչ մեծ ծերացման դեպ թում, երկու ենթադրութելունները կարելի է տարածել ոչ գծալին տիրույթում։ Հետաղոտվել են ինչպես Կ. Ս. Կարտանալանի [9, 10] Ն. Ի. Կատինի [8], այնպես էլ հեղինակի կողմից 1965 թ. ԼՊԻ ինժեննրական կոնսարուկցիանների ամբիոնի լաբորատորիալում կատարված փորձերը։

հույն փորձևրի հիման վրա ցույց է արված Պ. և Վասիլևի՝ 4-3 կողմից առաջարկված բանաձևերի կիրառման հնարավորությունը ծևրացող թետոնի արդի նկարադրման համար։

#### E. L. MANUKIAN

# ON THE NONLINEAR CREEP OF CONCRETE AT CENTRAL COMPRESSION

# Summary

In this article the experimental results, obtained by the author and other investigators, on the nonlinear creep of compressed concrete are analysed.

The approximate applicability of the hypothesis of affinity of creepcurves and the principle of superposition in nonlinear creep is shown.

#### АИТЕРАТУРА

- 1. Арутюнян Н. Х. Некоторые вопросы теория полоучести, М., 1952.
- Васильев П. И. Некоторые вопросы пластических деформаций бетона. Инвестив ВНИИГ, т. 49, 1953.
- Висильее П. И. Об использовании наследственных теорий для описания законов деформирования бетова. Известия ВНИИГ, т. 53, 1955.
- Васильев П. И. Ванявие старения бетопа на мид кривых ползучести. Известия ВНИИГ, т. 57, 1957.
- Восильев П. И. Пластические свойство бетомо и ях плинине на работу бетонии к сооружений. Сборым статей "Теория расчета и конструирования велезобетонных конструкций" ГИСиА. М., 1958.
- Восильев П. И. Пластические свойства бетова и их илияние на раб ту бетовных сооружений. Доклад № 46, ВНИИГ, 1957.
- 7. Вульфсон С. З. К нелинейной геории ползучести. Сборник "Ползучесть строительных метериалов и конструкций". ЦНИИСК, 1964.

- 8. Катин Н. И. Исследование полаучести бетона при высоких напряженнях. Труды НИИЖБ, вып. 4, 1959.
- 9. Каранетян К. С. Ползучесть безона при высоких на ряжениях. Известия АН АрмССР, т. 6, № 2, 1953.
- Карапетян К. С. Влияние старения бетона на зависимость между вапряжениями и деформациями полаучести. Известия АН АрмССР, т. 12, № 4, 1959.
- Минукан М. М. Напряжение состояние в сматых железобетонных элементах с учетом нелинейной ползучести бетона. Известия АН АрмССР, сер. фил -мат., естеств. и техн. наук. т. 7, № 1, 1954.
- Манукан М. М. Определение и пряжений в некоторых желевобетонных элементах с учетом получести и изменения модуля миновенной деформации бетона. Известия АН АрмССР, от виз-мат, естеств, и техи, паук, т. 7, № 6, 1954.
- Улициий И. И., Чжан Чжун-на, Гольшен А. Б. Расчет железобетанных конструкций с учетом длигельных процессов. Кнев, 1960.
- Уащимий И. И. Определение величин деформоций по усадки бетонов.
   Киев, 1963.
- 15. Черняк К. И. Эпоксидные помпаунды и их применение. А., 1959,

Մեխանիկա

XX, No 3, 1907

Азеханиял

#### P. O. AMACAH

# СТАТИСТИЧЕСКИЙ ПОДБОР МОДЕЛЬНЫХ МАТЕРИАЛОВ ПО ИХ ДЕФОРМАТИВНЫМ СВОЙСТВАМ

Вниду недостаточной однородности и стабильности механических снойств модельных материалов их подбор необходимо проводить по средним значениям механических характеристик с одновременным учетом вероятности их отклонений от среднего.

Методика такого рода подбора модельного материала только по одному параметру — по предельной прочности, на основе статистической теорин подобня [1], разработанной академиком АН АрмССР А. Г. Назаровым, принедена п работе [2].

Настоящая работа посвящена статистическому подбору модельных материалов по их деформативным свойствам.

Как изнестно, подбор модельного материала по деформативным свойствам осуществляется путем максимального сближения пидикаторной кривой материала модели = ( + 1 ) к аффинио-преобразованной индикаторной кривой материала оригинала = ( = ).

Однако, так как s' (з') и з (з) вследствие неоднородности материалов являются случайными функціями, то установить подобие единичными испытавиями контрольных образцов из материалов оригинала и модели возможно лишь несьма неточно. При этом допускаемая опшибка тем больше, чем больше неоднородность материалов модели и оригинала.

Сущность статистическог подбора модельного материала по деформативным свойствам заключается в том, что вдесь сравнению подлежат не единичные экземпляры контрольных образцов из материалов модели и оригинала, а серип контрольных образцов модели и оригинала. Опи считаются подобными, если средние значения функции деформации и корреляционные моменты удоплетворяют соответственно условиям

$$K_{i} \cdot (3z_{i}, 3z_{j}) = \gamma K_{i} \cdot (z_{i}, z_{i})$$

$$i, j = 1, 2 \cdots$$
(1)

где р и у множители подобия соот стственно для напряжения и деформаций.

Условие (1) приемлемо и тех случаях, когда в результате испытания контрольных образцов ислучают полную индикаторную кривую. Однако, в большинстве случаев случайные функции — и = (2) не записываются пепрерывно, а регистрируются через определенные ин-

тервалы их значения для  $z_1$ , — Так как случайные функции и фиксированных значениях рументь превращаются в обычную случайную величину, то результаты испытания образцов в данном случае представляют собой систем. m случайных еличин

$$\Sigma(z_1), \quad \Xi(z_2), \dots, \Xi(z_N)$$

Это приводит к тому, что место случайных функций = ( - ) и • ( - ) следует варынровать со случайными векторами

$$\sharp' = \begin{pmatrix} \epsilon_1' \\ \epsilon_2' \\ \vdots \\ \epsilon_m' \end{pmatrix} \quad \text{if} \quad \epsilon = \begin{pmatrix} \epsilon_1 \\ \epsilon_2 \\ \vdots \\ \epsilon_m \end{pmatrix}$$

Тогда условия статистического подобия чежду материалами модели и оригинала при множителях эдобия — и ; представляются в виде

$$\begin{pmatrix} \varepsilon_1 \\ \varepsilon_2 \\ \vdots \\ \varepsilon_{rs} \end{pmatrix} = \begin{pmatrix} \varepsilon_1 \\ \gamma \varepsilon_2 \\ \vdots \\ \gamma \varepsilon_m \end{pmatrix}$$

$$K_{i} \cdot (\beta \varepsilon_l, \ \beta \varepsilon_j) = \gamma^2 K_i (\varepsilon_l, \ \varepsilon_j)$$

$$i, \ j = 1, 2, \cdots, m$$
(2)

Здесь корреляционные моменты K и K составляют симметричные корреляционные матрицы m-степени, в главных диагоналях которых расположены дисперени зна ений деформации.

В настоящей работе, исходя из условий статистического подобия (2), рассматринается задача статистического моделирования легкого бетона марки М-160 легким гетоном марки М-50 по их деформативным свойстнам.

Поставленная задача приводится к установленню статистического подобия между бетонными и измами двух серий указанных марок при множителях подобия 3 - 0.33,  $\gamma = 1.07$ . Предполагая, что легкие бетоны марки 160 и 50 име от одинаковые плотпости, т. е. множитель подобия для плотности 3 - 1, для линейного множителя получим

$$x = \beta/6 = 0.33$$

Принимая характерный размер контрольных призм оригинала l = 45 см, соответствующий прияме размерами (45 × 15 × 15 см), для характерного размера контрольных призм модели получим

$$l' = \lambda l == 15 \text{ cm}$$

Такому значению / соот етствует прилма размерами (15 / 5 / 5 см), Олытные призмы указанных размеров в количестве 36 штук каждой серии изготовлялись из легкого бетона на гуфоном песке и щебне. Составы бетонов обена серий, подобранные в соответствии с их проектируемой маркой, приведены в таба. 1.

Размеры	Проектируе- мая морке	Расход мотериало на 1 лг: бетона в ма				Таб.	ли <u>до</u> /	
призм см	м бетона кі с.ч <sup>1</sup>	тона по весу	Цемент і	песок	gel	no,ta	-	771 .M. <sup>1</sup>
45 15 13	160	1:0.9:1.5	-143	404	672	365	0.54	1.889
15 5 5	50	1:2.7:1.5	176	480	797	365	1.66	1_819

Для снятия деформативных спойсти все призмы подвергались центральному одноосному сжатию. Испытание производилось ступенчатым нагружением образцов и измерением продольных деформации после каждой ступени нагрузки, составляющих примерно 0.1 от предела прочности бетока.

Измерение деформации проводилось с помощью тензодатчикон, закрепленных на двух противопологных гранях призмы.

Результаты испытания призм обенх серий после первичной статистической обработки представлены в табл. 2 и 3.

$\frac{7a6.444}{2.10^{-5}} = \frac{10^{-5}}{1.10^{-5}} = 10$					
осализации	:, 10 <sup>-8</sup>	Eg-10 =5	-:-10-3	1,-10	z - 10
1	5.2	21.5	14.9	71.1 73.2	97.8 102.9
2 3	7 0 8.1	25.9 27.8	47.2 19.8	78.4	111.4
4	8 4	29.0	52.1	80.5	117.0
5 5	10.3	33.0 31.2	56.5	90.1 85.0	123.0 119.1
7	11.0	35.5	62.5	92.4	126.3
8	11.8	27 0	65.0	98_0	132.6
10	5.4 7.0	23.6	45.4 47.0	70.4 ( 72.1	102.4
11	7.8	27.1	49.0	76.4	110.6
12	9.0	29.2	50.9	80.1	118.4
13 14	10.5	33.11	60 n 54 5	90.5 83.2	125.8 119.8
15	11.1	35.5	60.5	99.1	128.0
16 17	7.0	27.0 25.4	63.2 48.1	94.6 71.6	135.5
18	7.8	27.3	48,8	76 5	111.0
19	3 1	28.8	52.2	81.0	118.0
20 21	10.3	30.8 31.0	54.8 56.3	88.8 84.2	125,0
22	[0.4	32.2	60.7	84.8	127.5
2.3	8.3	29 1	49.8	78.6	112.6
2÷ 25	9,0	20,0 33,0	50.8 59.1	80.6 90.4	117 2 125 5
26	10.3	31 8	36.1	87.7	121.8
27	9.0	28.4	52.5 53.0	80.2 81.7	117.1
28 24	4,0 7.3	29,0 25,9	18.4	75.6	103.0
30	8.9	2n.7	49.0	77.0	112.2
31	10 0	27.2 31.0	49 U 54_5	76.0 82.6	108.8
33	9,9	32.2	56.5	88.4	124.0
34	9.9	27.4	40.9	79_3	114.6
35 36	8.9 9.5	29.0 30.5	51.2 52.6	80,0 82,5	116.2 116.0

	Табл	ица	3
10-	15.	10-	

М. М. Виракилара	ε <sub>1</sub> ·10 <sup>−5</sup>	z <sub>2</sub> -10 <sup>-5</sup>	±3 10 <sup>−5</sup>	5 <sub>4</sub> ⋅10 <sup>5</sup>	±5-10 <sup>-2</sup>
1 22 3 4 5 6 7 8 9 10 11 12 13 14 15 16 17 18 19 20 21 22 23 24 25 26 27 28 29 30 31 32 33 34 35 36 36 37 38 38 38 38 38 38 38 38 38 38 38 38 38	66.88.21.58.05.10.56.0.25.21.55.00.27.55.65.15.76.55.77.55.65.15.77.55.65.77.55.65.77.55.7	18.5 18.2 18.1 22.0 23.0 11.0 20.4 22.1 18.2 26.3 28.0 18.5 23.0 18.7 18.4 18.1 23.0 25.2 23.0 18.6 22.5 25.0 18.5 25.0 22.4 18.9 23.0 22.7 23.0 22.7 23.0 22.4	42.5 42.8 43.1 46.7 44.5 46.0 36.0 40.5 45.6 39.6 48.1 52.0 47.4 45.0 42.2 37.3 41.6 45.3 45.0 45.6 38.6 48.0 41.1 37.2 36.7 38.3 45.4 45.4 45.0 45.4 45.0 45.1 45.0 45.1 45.0 45.1 45.0 45.0 45.0 45.0 45.0 45.0 45.0 45.0	70.6 74.4 74.6 67.0 73.0 76.2 60.5 66.0 74.2 60.9 77.2 88.5 73.0 70.2 60.3 73.5 61.2 72.6 79.0 71.4 59.7 60.5 63.0 73.5 73.5 73.7 78.1 77.0	117.0 124.0 1126.0 117.0 125.0 132.0 88.0 102.0 103.0 90.5 114.0 139.0 126.5 126.0 118.0 95.5 117.0 126.0 128.0 95.5 117.0 126.0 128

Как нидно из атих таблиц, случайные функции - (:) и в (:) сведены к системам по пяти случайным величинам, отвечающим соответственно сечениям

з = 12 кгсм<sup>-</sup>, 36 кгсм<sup>-</sup>, 60 кгсм<sup>-</sup>, 84 кгсм<sup>-</sup>, 108 кгсм<sup>-</sup> =' = \$= 4 кгсм-, 12 кгсм-, 20 кгсм-, 20 кгсм-, 36 кг/см-

Многомерный статистический внализ этих случайных величин сводился к нахождению оценок подходящих значений средних векторов н корреляционных матриц.

Оценка среднего вектора и корреляционной матрицы осуществлялась по формулам:

для среднего нектора

$$\overline{\mathbf{a}} = \frac{1}{N} \sum_{r=1}^{N} \mathbf{s}_{r} = \begin{pmatrix} \frac{1}{N} \sum_{r=1}^{N} \mathbf{s}_{1r} \\ \vdots \\ \frac{1}{N} \sum_{r=1}^{N} \mathbf{s}_{3r} \end{pmatrix} = \begin{pmatrix} \widehat{\mathbf{s}}_{1} \\ \vdots \\ \widehat{\mathbf{s}}_{5} \end{pmatrix}$$

для коррелиционной матрицы

$$K = \frac{1}{N-1} A = \frac{1}{N-1} \left| \sum_{i=1}^{\infty} (z_{ii} - \overline{z_i}) (z_{ji} - \overline{z_i}) \right|$$

$$i, j = 1, 2, \dots, 5$$

где V - объем выборки.

Вычисления привели к следующим результатам:

$$\vec{K} = \begin{pmatrix} 8.1 \cdot 10^{-3} \\ 26.7 \cdot 10_{-3} \\ 48.5 \cdot 10_{-3} \\ 90.4 \cdot 10_{-129.9 \cdot 10} \end{pmatrix}$$

$$\vec{F} = \begin{pmatrix} 9.8 \cdot 10 \\ 29.2 \cdot 10_{-3} \\ 58.9 \cdot 10_{-3} \\ 81.6 \cdot 10_{-119.0 \cdot 10} \end{pmatrix}$$

$$\vec{K} = \begin{pmatrix} 1.1 & 2.0 & 3.5 & 5.2 & 7.5 \\ 2.0 & 8.1 & 9.9 & 13.9 & 32.8 \\ 3.5 & 9.9 & 15.8 & 23.4 & 48.2 \\ 5.2 & 13.9 & 23.4 & 41.6 & 93.2 \\ 7.5 & 32.8 & 48.2 & 93.2 & 222.1 \end{pmatrix}$$

$$\vec{K} = \begin{pmatrix} 1.9 & 3.3 & 4.2 & 4.8 & 5.2 \\ 3.3 & 9.9 & 10.8 & 11.6 & 39.1 \\ 4.2 & 10.8 & 12.4 & 27.2 & 55.6 \\ 4.8 & 11.6 & 27.2 & 32.9 & 95.3 \\ 5.2 & 39.1 & 55.6 & 95.3 & 186.3 \end{pmatrix}$$

Сопоставляя оценки средних некторов и коррелиционных матриц сравниваемых серий можно установить между ними некоторое различие. Означает ли это, что условие статистического подобия (2) нарушено или различие выборочных средних векторов и корреляционных матриц носит чисто случайный характер?

Ответ на этот нопрос мы получим путем проверки гипотезы:

$$H: \quad \mathfrak{e}' = K_{\mathfrak{e}'} - \frac{n^2}{4}K_{\mathfrak{e}}$$

Отношением правдоподобия для проверки гипотезы H, согласно предложению Бартлетта, является неличина [3]

$$V = \frac{\prod |A_{\mathcal{R}}|^{\frac{1}{2}n_{\mathcal{R}}}}{|B|^{n}}$$

где

$$B = A \sum_{g=1}^{\infty} N_{g} \left( \varepsilon_{j}^{(g)} - \varepsilon \right) \left( \widehat{\varepsilon}_{j}^{(g)} - \widehat{\varepsilon} \right) \quad i, j = 1, 2, \dots, 5$$

$$= V_{g} - 1$$

$$n = \sum_{g=1}^{\infty} n_{g},$$

g= номер выборки, g=1.2.

Для получения критической области, в которой гипотеза H подтверждается, необходимо иметь функцию распределении V. Для ее определения воспользуемся теорией асимпто тических разложений функции распределения случайной величины Вокса 41.

Вместо случайной величины V впедем случайную величину W

$$W = V n^{\frac{1}{2}m\pi} \prod_{n=1}^{\infty} n_n^{-1}$$

Асимптотическое равложение функции распределения величины — 29 ln W имеет вид

$$P\{-2; \ln W < z\} = P\{-2; \ln W < z\} = P\{-2$$

где ∫ — число степеней свободы

$$f = \frac{1}{2} m (m - 3)$$

 и и... — постоянные коэффициенты, о гределяемые соответственно по формулам;

$$p = 1 - \left(\sum_{g=1}^{2} \frac{1}{n_g} - \frac{1}{n}\right) \frac{2m^2 - 3m - 1}{6(m - 3)} - \frac{m}{n(m - 3)}$$

$$m_g = \frac{m}{288 \, g^2} \left[ -6 \left(\sum_{g=1}^{2} \frac{1}{n_g^2} - \frac{1}{n^2}\right) (m^2 - 1) (m - 2) - \left(\sum_{g=1}^{2} \frac{1}{n_g} - \frac{1}{n}\right)^2 \frac{(2m^2 - 3m - 1)^2}{m - 3} - 12 \left(\sum_{g=1}^{2} \frac{1}{n_g} - \frac{1}{n}\right) \frac{(2m^2 - 3m - 1) m}{n(m - 3)} - 36 \frac{m^2}{n^2(m - 3)} - 24 \frac{1}{n} (1 - m)^2 \right]$$

В результате вычислений для  $f_{*,*}$ , и  $-\ln W$  получены следун шие значения:  $f=20, \circ -1.2, \cdots = 0.0032, -20 \ln W=11.74$ .

Так как од мало, то, исходя из (3), можно считать, чт > 29 ln W имеет уграспределение с 20 степенями свободы. Для 10 дго уровня значимости критическое значение уг с 20 степенями свободы равно 12.44, что больше, чем полученное значение для 22 ln W. Следовательно, гипотеза о раяенстве средних векторон и корреляционных матриц не опровергается.

Вывод: статистическое подобие между легкими бетонами марки M-160 и M-50 по их деформативным свойствам установлено.

Ивститут гелфизики и инженервой стисмология
АН Арминской ССР

### **Թ. 2. ՀԱՄԱ**ՍՅԱՆ

## ՄՈԴԵԼԱՑՄԱՆ ՆՏՈՒԹԵՐԻ ՍՏԱՏԻՍՏԻԿԱԿԱՆ **ԸՆՏՐՈՒԹՑՈՒՆԸ ԸՍՏ ԻՐԵՆ**Ց ԳԵՖՈՐՄԱՑԻՈՆ ՀԱՏԱՌԻՐԵԱՆ

# Unifindinia

Հորվամում ընթված է մոցհրացման նլութների ստատիստիկական բնտրուինյան մեխոցիկան ըստ իրենց գնֆորմացիոն հատկության։ Մասնավորապես դիտարկվում է M-160 մարկայի թեննե ընտոնի ստատիստիկական մոգելացման ինոցիրը M-50 մարկայի թենն ընտոնով։

Բետանլա Նոքուլների երկու սերիաները, որոնց չափսերը, բազադրու-Ալունները և քանակները թերված են 1-ին ադլուսակում ենքարկված են մեկ առանցրային սեղմման։

Մործարկումներից ստայված արդյունըների (ազյուսակներ 2.3) ստատիստիկական մ ակումը հանդել է դեֆորմացիաների հնարչյան միջին վեկտորների և կորրելացիոն մատրիցաների որոշմանը։ Այնուհետև, համեմատվող սերիաների միջին վեկտորների և կորրելացիոն մատրիցաների հավասաբունիան հիպոններ հասատահյուց հետո, կատարված է նդրակացունիուն՝ և վու տարբեր մարկայի նենն ընտոնների միջն ստատիստիկական նմանունկան հասատուման մասին։

### R. H. HAMASSIAN

# THE STATISTIC CHOICE OF MODEL MATERIALS ACCORDING TO THEIR PROPERTIES OF DEFORMATION

# Summary

The method of choosing model materials according to their properties of deformation is given. Particularly, the problem of replacing light concrete M-160 by M 50 is studied.

The two series of concrete samples, the measure, composition and quantity of which we see in table 1, are submitted to one axial compression.

The statistic treatment of the results of experiments, (tables 2, 3) ended with quintuple average vectors of deformation and the correlation of matrixes. Then after having proved the hypothesis of the average vectors and the correlation of matrixes; for these two compared series, a conclusion was made on the statistic resemblance of both kinds of light concretes.

### AMTEPATYPA

 На В А. Г. О механическом подобия твердых деформируемых тел. Изд-во АН АрмССР, Ереван, 1965

- Амасян Р. О. Подбор модельных материалов по подобию в статистическом смысле-Дова. АН АрмССР, т. 42. № 5, 1966.
- Box G. E. P. A general distribution theory for a class of likelihood or teria. Biometrika, 36, 1949.

Teldamidalian

XX. № 3, 1967

Mexamika

### P. M. KEPAKOCHE

# ОБ ОДНОЙ УПРУГО-ПЛАСТИЧЕСКОЙ ЗАДАЧЕ УСЕЧЕННО-КОНИЧЕСКОЙ ОБОЛОЧКИ ВРАШЕНИЯ

В рамках безмоментной теории оболочек [1] рассматривается задача о квазистатическом равновесии усеченно-конической заманутой оболочки вращения при одном режиме сложного нагружения. После выяснения вопроса о разгрузке и повторном нагружении, на основании теории течения [2] дается точное решение задачи для определенного промежутка временя. Приведен численный пример.

## 1. Исходные уравнения и соотношения

Рассмотрим усеченно-коническую замкнутую оболочку вращеиия постоянной толшины А. Положение какого-либо идрадаельного круга срединной поверхности оболочки будем определять длиной отрезка по образующей в, отсчитываемой от некоторого парадлельного круга 🐒 - О.

Пусть рассматриваемая оболочка свободна от поверхностных нагрузок (X = Y = Z = 0), один край ее ( $s_0 = 0$ ) защемлен, а на другом (s, 1) действует растягивающее вдоль образующих равномерно-распределенное напряжение 9, линейно подрастающее со временем. Будем считать, что напряжение 4 растет от нуля до некоторого значения, при котором в оболочке существует область упруго-пластических деформация, после чего вещемляется вогруженный край  $(s_1 = l)$  и начинает деястновать раиномерное внутреннее дапление Р, опять линейно нозрастающее со временем. При этом будем принимать, что растягивающее напряжение 4 и внутрениее давление р пастолько медленно изменяются со временем, что ваиянием инерционных часнов можно пренебречь.

Для краткости задачу о квазистатическом равновисии рассматривасмой оболочки до приложения внутреннего давления р назопем задачей упруго-пластического растяжения, а после его приложения задачей с внутренним давлением.

Будем исходить из безмоментной теории оболочек [1], при этом принимая за физические соотновития ураниения теории течения упрочняющего материала [2].

В случае двухосного напряженного состояния ати уравнения HMCBOT BHAS:

при нагружении (dT > 0)

$$dz_{1} = \frac{1}{E} (dz_{1} - z_{2}) - \frac{1}{3} F(T) (2z_{1} - z_{2}) dT$$

$$dz_{2} = \frac{1}{E} (dz_{2} - z_{2}) - \frac{1}{3} F(T) (2z_{2} - z_{1}) dT$$
(1.1)

при разгрузке и пейтральных изменениях напряженного состояния (dT-0)

$$dz = \frac{1}{E} \left( dz_1 - vdz_2 \right)$$

$$dz = \frac{1}{E} \left( dz_2 - vdz_2 \right)$$
(1.2)

Здесь  $dz_1$ ,  $dz_2$  и  $dz_3$ ,  $dz_4$  приращения компонент деформации и пряженая вдоль образующих и кольшеных окружностей средникой поверхности оболочки, E и z = модуль Юнга и коэффициент Пувссона материала, T интенсивность касательных напряжений

$$T = \frac{1}{1.3} \sqrt{z_1 + z_2 + z_2} \tag{1.3}$$

Для простоты ограничимся случаем линейного унр чнения материала

$$F(T) = F_0 T \tag{1.4}$$

 $(F_{\phi} - \text{постоянная, определяемая из опытов}).$ 

Из геометрических соотношений, в случае защемления края s = 0, для перемещения вдоль образующих и и прогиба оболочки и имеем [1]

$$u = \int_{-1}^{\infty} ds, \qquad u = \frac{1}{\cos u} \qquad u \nmid g \mid 0$$
 (1.5)

Здесь # угол между образующей конуса и ее осью, г г - s sln - расстояние точек срединной поверхности до оси оболочки.

Напряжения по образующим и и кольцевым окружностям и определяются из интегралов статических уразмений безмоментной теории оболочек по формулам [1]

$$z_{1} = \frac{1}{rh\cos\theta} \left| \int_{0}^{x} r(X\cos\theta - Z\sin\theta) ds - C \right|$$

$$z_{2} = \frac{r}{h\cos\theta} Z$$
(1.6)

Так нак внешние воздействия на оболочку в нашем случае изменяются со временем, то фигурирующая в формуле (1.6) неизвестная пеличина интегрирования С будет функцией времени.

## 2. Задача упруго-пластического растяжения оболочки

Условия задачи в данном случае таковы:

$$X = Y = Z = 0$$
 (2.1)  
 $u(0, t) = 0, \quad a_0 = \text{const}, \quad 0 = t = t_1$ 

С учетом (2.1) из (1.6) для напряжений получим

$$z_1(s, t) = \frac{z_1(s, t)}{nr\cos\theta}, \quad z_2(s, t) = 0$$
 (2.2)

где

$$C(t) = q_0 h r_1 t \cos \theta, \quad (r_1 - r_1(t))$$
 (2.3)

Следовательно,

$$\tau_1(s, t) = q_1 \frac{r_1}{r(s)} t, \quad T = \frac{1}{V \cdot 3} q_1 \frac{r_1}{r(s)} t$$
 (2.4)

Так как интенсивность касательных напряжений T монотонно новрастающая функция от s, то область упруго-пластических деформаций начнется с конца оболочки  $s_1$  / и с течением времени распространится в сторону другого конца s 0.

Граница упругой и упруго-пластической областей  $s_n(t)$  в произвольный момент времени t определится из условия

$$T(s_{\alpha_1}|\ell) = T_{\alpha} \tag{2.5}$$

(T) значение интенсивности касательных напряжений, соответствующее пределу упругости материала) и имеет вид

$$s_n(t) = \frac{1}{\sin \pi} \left( r_0 - \frac{1}{\sqrt{3} T_n} t \right) \tag{2.6}$$

Момент же времени  $t_n$  (s), при котором произвольное кольцевое сечение s окажется границен упругой и упруго-иластической областей, согласно (2.6) будет

$$t_n(s) = \frac{\sqrt{3} T_n}{r_1 q_0} (r_0 - s \sin \theta)$$
 (2.7)

Чтобы оболочка в момент времени (,, когда прекращается рост растягивающего напряжения q, частично испытывала упруго-иластические деформации, необходимо выполнение нера-снетва

$$0 < s_n(t_1) < l \tag{2.8}$$

или, что одно и то же

$$\frac{1}{q_0} = t_n(l) < t_1 < t_2(0) \qquad \frac{1}{q_0 r_1} \tag{2.9}$$

Очевидно, что часть оболочки  $0 \le s \le s_n(t, 1)$  деформируется упруго сначала до конца, т. е. при  $0 \le t \le t_n$  Произвольное же сечение s

остальной части оболочки  $s_n(t_1) - s = l$  деформируется упруго в промежутке времени  $0 \le t \le t_n(s)$ , после чего оно испытывает упругопластические деформации.

Исходя из вышеналоженного, с учетом (1.1), (1.2), (1.4) и (2.4), для деформации вдоль образующих в можне ваписать

$$z_1(s, t) = \frac{q_0 r_1}{E_T(s)} t, \qquad \begin{array}{ccc} 0 & s & s_1(t) \\ 0 & t & t_0(s) \end{array}$$
 (2.10)

$$s_{n}(t) = \frac{q_{n}r_{1}}{Er} \left( -\frac{2}{3 \sqrt{s}} - \frac{2F_{n}}{27} - \frac{q_{n}r_{1}}{r} \right)$$

$$s_{n}(t) + s - l - (t_{n}(s) - t - t_{1})$$
(2.11)

Внеся значения деформации из (2.10) и (2.11) в первое соотношение (1.5), после интегрирования и соответствующих пределах для перемещения идоль образующих и получим

$$u(s, t) = \frac{q_0 r_1 t}{E \sin \theta} \ln \frac{r_0}{r(s)}, \qquad \begin{array}{c} 0 & s & s_1(t) \\ 0 & t & t_n(s) \end{array}$$
 (2.12)

$$u(s, t) = \frac{q_{sr_1t}}{E\sin\vartheta} \ln \frac{r_0}{r} \frac{27 r^2 \sin\vartheta}{27 r^2 \sin\vartheta} (r_1 r_2 t - 3r^2 T_n^2) - \frac{2F_0 T_n^3}{3 \sqrt{3}} \left[ s - \frac{1}{\sin\vartheta} \left( r_0 - \frac{r_0}{1 \ 3 \ T_n} t \right) \right]$$
(2.13)
$$s_{r_1t} t = s \leq t, \quad (t_n(s) - t_1)$$

Аналогичным образом определяется и прогиб оболочки те

$$w(s, t) = \frac{q_{\sigma_1}}{E \cos \theta} \left[ \ln \frac{r_0}{r(s)} - \frac{0}{(0 - t + t_n(s))} - \frac{0}{(0 - t + t_n(s))} \right]$$

$$w(s, t) = \frac{r}{\cos \theta} \left[ \frac{F_n T}{3_1 - 3} - \frac{q_{\sigma_1} r}{Er} \right] - \frac{F_0}{27} \left( \frac{r_1 q_1 t}{27} - 3r \right) - \frac{1}{\cos \theta} \left[ \frac{q_{\sigma_1} t}{E} \ln \frac{r_0}{r} - \frac{F_0 r_1 q_0 t}{27 r^2} \left( r_1 q_1 t^2 - 3r \right) - \frac{2F_0 T_n^3}{3 \cdot 1 \cdot 3} \left( s \sin \theta - r_0 - \frac{r_0 t}{1 \cdot 3 \cdot 7_n} \right) \right]$$

$$s_n(t) = s \ge l, \quad (t_n(s) - t - t_n)$$

# 3. Задача с внутренним давлением

Пусть в момент времени I прекращается рост растягивающего вапряжения q(t), ващемляется край оболочки  $s_1 = I$  и начинает деяствонать внутреннее давление p, линейно возрастающее со временем

$$p(t) = p_0(t - t_1), \quad p_0 \quad \text{const}, \quad t = t.$$
 (3.1)

Аля данной задачи оболочка предварительно напряжена, причем в одной ее части 0 s s  $(t_i)$  реализовано упругое (2.4), (2.10), (2.12), (2.14), а и остальной части  $s_n(t_i)$  s l упруго-иластическое (2.4), (2.11), (2.13), (2.15) напряженно-деформированные состояния. Задача о квазистатическом раиновесии такой оболочки для l является статически неопределимон.

В данном случае ( $X=1=0,\ Z=p\ (t-t_1)$ ) из (1.6) для напряжений  $z_1$  и  $z_2$  получим

$$\frac{-\frac{r^{2}}{2rh\cos\theta} - \frac{C(t)}{rh\cos\theta}}{\frac{h\cos\theta}{h\cos\theta}}$$
(3.2)

Неизнестная плиния интегрир = m C(t) должна определяться из условия постоянства во времени значения перемещения вдоль образующих u и краю оболочки  $s_1 = l$ . С учетом (2.13) это условие имеет вид

$$a(t, t) = a[C(t)] - \frac{{}^{t}q_{0}r_{1}t_{1}}{E\sin\theta} \ln \frac{r_{0}}{r_{1}} - \frac{27\sin\theta}{27\sin\theta} + t^{2} - 3T_{0}^{2}) -$$

$$\frac{2F_{n}T_{n}}{3+3} \left| -\frac{t_{1}q_{n}}{\sin \theta} - \frac{r_{1}q_{n}}{1-3T_{n}}t_{1} \right| = const, \quad (t = t_{1}) \quad (3.3)$$

Однако, тля нехопления выражения перемещения и через неизпестную функцию  $C\left(t\right)$  нужно определять области дальнейшего нагружения и разгрузки, появляющиеся иследствие приложения нового воздействия на оболочку 1 виема-ние края  $s_{1}=t$  и появление внутреннего данления p), что предварительно сделать невозможно. В этом и заключается вся грудность решения поставленией залачи.

Допустим, что после приложения внутреннего давления p во всен оболочке в течение некоторого промежутка времени  $\Delta t_* = t_* = t_1$  происходит процесс разгрузки или нейтральных изменений папряженного состояния, т. е.

$$dT = 0, \quad 0 \quad s \quad l_* \quad (t_1 \quad t \quad t_8) \tag{3.4}$$

(Вопрос в действительности этого предноложения будет рассматриваться несколько пиже).

В силу (3.4) приращения депормаций выразятся через напряжения и их приращения по формулам (1.2).

Учитыная (3.2), для приращения депормации вдоль образующих dr. на (1.2) получим

$$\frac{1}{2Ehr\cos\theta} \left[ 2\frac{d^{2}}{dt} - p_{0}[r - (1 - 2v)r] \right] dt \qquad (3.5)$$

Аля выполнения условия (3.3) (условия постоянства перемещения и на краю ополочки — // необходимо, чтобы

$$\int_{t_0(t_0)}^{t_0(t_0)} ds = \frac{1}{2Eh\cos\theta} \int_{t_0}^{t_0} \frac{1}{r} \int_{t_0}^{t_0} \left[ 2\frac{dC}{dt} - p_0[r] - (1-2r)r^2 \right] \cdot dt \, ds = 0$$
(3.6)

Имея в виду то обстоятельство, что условие (3.6) должно удовлетворяться при любом  $t>t_1$ , для неизвестной функции интегрирования C(t) с учетом (3.5) и (2.3) получим лифи еренциальное уравление

$$\frac{dC}{dt} = \frac{p_{ir}t_{i}}{2} + \frac{p_{ir}(1-2i)(r-r_{i})}{4\ln\frac{r_{i}}{r_{1}}} = 0 \qquad (t-t_{1}) \qquad (3.7)$$

с начальным услонием

$$C(t_i) = q_0 h r_i t_i \cos \sigma \tag{3.8}$$

Следовательно,

$$C(t) = q_0 h r_1 t_1 \cos d \qquad \left[ \frac{r_0}{2} - \frac{(1 - 2i)(r_0 - r_1^2)}{4 \ln^{r_0}} \right] (t - t_1)$$

$$(t - t_1)$$

Нахождением исизвестной функции интегрирования (3.9) рактически завершается решение задачи с внутренним даилением в предположении (3.4).

С помощью (3.2), (3.9). (1.2), (2.12) (2.15) для напряжений и перемещений оболочки получим

$$a_{1}(s, t) = \frac{q_{1}t_{1}}{4 r h \cos \theta \ln \frac{r_{0}}{r_{1}}} \left[ 2r^{2} \ln \frac{r_{0}}{r_{1}} - (1 - 2r) (r - r_{1}^{2}) \right]$$

$$a_{2}(s, t) = \frac{r_{0}}{h \cos \theta} \qquad (0 - s - t)$$

$$a(s, t) = -\frac{q_{0}r_{1}t_{1}}{E \sin \theta} \ln \frac{r_{0}}{r} \qquad \frac{p_{0}(1 - 2r) (t - t_{1})}{2E h \sin 2\theta \ln \frac{r_{0}}{r}} \left[ (r - r_{1}^{2}) \ln \frac{r_{0}}{r_{1}} \right]$$

$$- (r_{0}^{2} - r_{1}^{2}) \ln \frac{r_{0}}{r_{1}} \left[ (0 - s_{0}(t_{1})) \right]$$

$$a(s, t) = \frac{q_{0}r_{1}}{E \sin \theta} \ln \frac{r_{0}}{r} \qquad (0 - s_{0}(t_{1}))$$

$$a(s, t) = \frac{q_{0}r_{1}}{E \sin \theta} \ln \frac{r_{0}}{r} \qquad (0 - s_{0}(t_{1}))$$

$$a(s, t) = \frac{q_{0}r_{1}}{E \sin \theta} \ln \frac{r_{0}}{r} \qquad (0 - s_{0}(t_{1}))$$

4 Известия АН АрмССР, Мехапики, № 3

$$\frac{2Eh \sin 2\theta \ln \frac{r_0}{r_1}}{(s_n(t_1) + s - l)} = \frac{r_0}{r_1} \ln \frac{r_0}{r_1}$$

$$(s_n(t_1) + s - l)$$

$$w(s, t) = \frac{1}{4Eh \cos^2 \theta \ln \frac{r_0}{r_1}} \left\{ \left[ 3r^2 - \frac{r_0}{4Eh \cos^2 \theta \ln \frac{r_0}{r_1}} \right] \left[ 3r^2 - \frac{r_0}{4Eh \cos^2 \theta \ln \frac{r_0}{r_1}} \right] \left[ 3r^2 - \frac{r_0}{r_0} \right] \left[ \frac{r_0}{r_0} \ln \frac{r_0}{r_0} + \frac{r_0}{r_0} \ln \frac{r_0}{r_0} \right] \left[ \frac{r_0}{r_0} \ln \frac{r_0}{r_0} + \frac{r_0}{r_0} \ln \frac{r_0}{r_0} + \frac{r_0}{r_0} \ln \frac{r_0}{r_0} \right]$$

$$w(s, t) = \frac{r_0}{\cos \theta} \left[ \frac{r_0}{r_0} \ln \frac{r_0}{r_0} + \frac{r_0}{r_0} \ln \frac{r_0}{r_0} + \frac{r_0}{r_0} \ln \frac{r_0}{r_0} \right]$$

$$\frac{r_0}{\cos \theta} \left[ \frac{r_0}{r_0} \ln \frac{r_0}{r_0} + \frac{r_0}{r_0} \ln \frac{r_0}{r_0} + \frac{r_0}{r_0} \ln \frac{r_0}{r_0} \right]$$

$$\frac{2F_0 T_0^2}{3+3} \left( s \sin \theta - \frac{r_0}{r_0} \ln \frac{r_0}{r_0} + \frac{r_0}{r_0} \ln \frac{r_0}{r_0} \right) \left[ \frac{r_0}{r_0} \ln \frac{r_0}{r_0} + \frac{r_0}{r_0} \ln \frac{r_0}{r_0} \right]$$

$$(3.12)$$

$$\frac{2F_0 T_0^2}{3+3} \left( s \sin \theta - \frac{r_0}{r_0} \ln \frac{r_0}{r_0} + \frac{r_0}{r_0} \ln \frac{r_0}{r_0} \right) \left[ \frac{r_0}{r_0} \ln \frac{r_0}{r_0} + \frac{r_0}{r_0} \ln \frac{r_0}{r_0} + \frac{r_0}{r_0} \ln \frac{r_0}{r_0} \right]$$

$$(3.12)$$

$$\frac{2F_0 T_0^2}{3+3} \left( s \sin \theta - \frac{r_0}{r_0} \ln \frac{r_0}{r_0} + \frac{r_0}{r_0} \ln \frac{r_0}{r_0} + \frac{r_0}{r_0} \ln \frac{r_0}{r_0} \right]$$

$$(3.12)$$

$$\frac{2F_0 T_0^2}{3+3} \left( s \sin \theta - \frac{r_0}{r_0} \ln \frac{r_0}{r_0} + \frac{r_0}{r_0} \ln \frac{r_0}{r_0} + \frac{r_0}{r_0} \ln \frac{r_0}{r_0} \right]$$

$$(3.12)$$

Покажем, что после приложения внутреннего давления p на самом леле существует некоторый промежуток времени  $2t_s=t-t_1$ , в течение которого во исей оболочке происходит процесс разгрузки или нейтральных изменений напряженного состояния.

Условие отсутствия нагружения, с учетом (1.3) и (3.2), примет

$$\int p(r-3r^{1}) = 2p_{0}r^{2} \frac{dC}{dt} \left[ (t-t_{1}) - 4C\frac{dC}{dt} - 2p_{0}r^{2}C = 0 \right]$$
 (3.13)

Из этого условия с помощью (3.9) получим

$$\Delta t = t - \frac{1}{\pi} \frac{(1 - 2v)(r_0^2 - r_1^2)\cos^3[n^{-3}]}{\left[12r_1^4(\ln - 1) - (1 - 2v)^2(r_1^2 - r_1^2)^2\right]}$$
(3.14)

Как иетрудно заметить, свое наименьшее значение  $\Delta t$  принимает для края оболочки s=0 (при r=r). Поэтому из (3.14) для продолжительности процесса разгрузки или нейтральных изменений наприженного состояния всей оболочки  $\Delta t_{\infty}$  получим

$$\Delta t_{i} = \frac{4q_{ij}hr_{1}t_{1}\left(1 - 2\tau\right)\left(r_{i}^{2} - r_{i}^{2}\right)\cos^{4t}\ln{-\frac{r_{i}}{r_{1}}}}{p_{ij}\left(12\,r_{i}^{2}\left(\ln{\frac{r_{i}}{r_{i}}}\right)\right)\left(1 - 2\tau\right)^{2}\left(r_{i} - r_{i}^{2}\right)}$$
(3.15)

Если материал оболочки сжимаем в упругой стадии деформирования (1 < 0.5), то  $2U_n > 0$ , т. с. после приложения внутреннего давления р во всей оболочке может происходить процесс разгрузки или нейтральных изменений напряженного состояния, что невозможно ( $2U_n$  ()) при несжимаемости материала.

После истечения промежутка времени  $M_{\pm}$  в дальнейшем возникает область повторного кагружения оболочки. На основании (3,14) она начистся с одного конца в О и с течением времени (с возрастанием давления р (t)) распространится в сторону другого конца оболочки s = 1. Повторное нагружение до некоторого определениего уровня напряженного состояния является упругим. При этом для части 0 💮 🛴 🚮 где оболочка до этого деформировалась только увруго, повторное нагружение будет упругим не только до прежнего уровня напряженного состояния  $T(s, t_1) < T_{n_1}$  но и дальше, до предела упругости материала  $T_n$ . В остальной же части, где оболочка при первоначальном нагружении (0 / / 1 испытывала упруго-пластические деформации, процесс повторного нагружения будет упругим до прежнего уровня напряженного состояния  $T(s, t_1) > T_n$ . Следовательно, для всей оболочки целиком повторное нагружение будет унругим до того момента времени t, при котором где-нибудь в оболочке впервые удовлетвориется одно из следующих двух условий:

$$T(s_1, t) = T_n = 0 \le s = s_1(t_1)$$
 (3.16)

$$T(s, t) = T(s, t_1) = T_0 \qquad s(t_1) = s \le l$$
 (3.17)

С учетом (1.3), (3.2) и (3.9) из (3.16) относительно промежутка времени  $\Delta t_1 = t_1 + t_2$  в течение которого повторное нагружение для части оболочки  $0 \le s \le (t_1)$  будет упругим, получим следующее кнадратное уравнение:

$$p_0^2 \left[ (1 - 2v)^2 (r^2 - r^2)^2 + 12 (r_0 - \sin \theta)^4 \left( \ln \frac{r_0}{r_1} \right)^2 \right] (\Delta t_1)^2 - \\ - 8p_0 q_0 (1 - 2v) h r_1 t_1 (r_1^2 - r_1^2) \cos \theta \ln - \Delta t_1 \\ - 16 h^2 \cos^2 \theta \left( \ln \frac{r_0}{r_1} \right) \left[ q_1^2 r_1^2 t_1^2 - 3 T_0 (r_0 - s_0 \sin \theta)^2 \right] = 0$$
 (3.18)

В втом ураннении под  $s_*$  следует понимать расстояние от края рассматриваемой части оболочки s=0 по образующей той кольцевой окружности, для которой  $\Delta t_1$  получает наименьшее положительное значение. Иными словами,  $s_*$  определяет точки, в которых путем пов-

торного нагружения оболочки ппервые достигается предел упругости материала  $T_{\rm ex}$ 

С помощью (1.3), (2.4), (3.2) и (3.9) из условия (3.17) для наибольшего промежутка времени -t  $t^*$   $t_*$ , в течение которого повторное нагружение части оболочки  $\mathbf{s}_n(t_1)$  s I будет упругим, получим

$$\Delta t_{n} = \frac{p_{0} \left[ \frac{1}{3T_{n}} - q_{0}^{1} t^{1} \left( \ln \frac{r_{0}}{r_{1}} \right) - (1 - 2v) \right] (3.19)}{\left[ \frac{1}{3T_{n}} - q_{0}^{1} t^{1} \left( \ln \frac{r_{0}}{r_{1}} \right) - (1 - 2v) \right] }$$

Отметим, что интенсивность касательных напряжений своего прежнего значения впервые достигает при  $s=s_n(t_1)$ , т. е. повторное нагружение неупругий характер впервые получает на той кольцении окружности, которая в конце первоначального нагружения  $t=t_1$  разделяла упругую и упруго-пластическую области оболочки.

Согласно выпреизложенным рассуждениям, промежутком упругого характера  $\Delta t$  процесса повторного нигружения для всей оболочки будет наименьшее на значений  $\Delta t_1$  и  $\Delta t_2$ , т. е.

$$\Delta t^* = \min\left(\begin{array}{c} \Delta t \end{array}\right) \tag{3.20}$$

Решения задачи с внутренним давлением (3.10) (3.12), найденные для промежутка времени (1.1), и в течение которого во всей оболочке происходил упругий процесс процесс разгрузки, распространимы и на случай упругого повторного нагружения. Это оченидно, так как и обоих этих случаях приращения деформаций выражаются через приращения напряжений одинаковыми соотношениями упругости (1.2).

Таким образом, решения (3.10)—(3.12) справедливы для любого 1, находящегося в интерналс

$$t_1 \leq t \leq t_1 - \Delta t^3 \tag{3.21}$$

# 4. Численный понмер

Для иллюстрации рассмотрим следующий численный пример. Пусть

$$h = 3 \text{ cm}, \qquad l = 200 \text{ cm}, \qquad r_c = 80 \text{ cm}, \qquad r_c = 50 \text{ cm}$$

$$E = 2 \cdot 10^4 \text{ kg cm}, \qquad v = 0.25, \qquad F_0 = 0.5 \cdot 10^{-13} \frac{c \cdot t}{\text{kg}^2} \qquad (4.1)$$

$$T_0 = 1000 \text{ kg cm}, \qquad 1 \frac{c}{c_{30} \text{ cmm}}, \qquad p_0 = 0.1 \frac{c}{c_{30} \text{ cmm}}$$

Допустим, что рост растягивающего напряжения q(t) продлился до того момента времени  $t_t$ , при: котором напряженно-деформирован-

ное состояние половины оболочки перешло границу упругости материала. Гогда с учетом (4.1) из (2.7) и (3.15) получим

$$t_{\rm e} = t_{\rm e} \left( \frac{1}{2} \right) = 2252 \text{ sum} = 37.53 \text{ vac}$$

$$\Delta t_{\rm e} = 108 \text{ sum} = 1.8 \text{ vac}$$
(4.2)

Нетрудно убедиться в том, что положительный корень квадратного уравнения (3.18)

[3.8025 2651 10 "  $r^4(s)$ ] ( $\Delta t_1$ )" — 24490  $\Delta t_1$  — 39.43 · 10° — 9334  $r^2(s)$  — 0 свое наименьшее значение получает на границе раздела упругой и упруго-пластической областей оболочки при  $t=t_1$  ( т. е.  $s_*=\frac{t}{2}$  , что и совпадает со значением — Следонательно,

$$\Delta t = \Delta t_1 = 479 \text{ мин} = 7.99 \text{ час} \tag{4.3}$$

Таким образом, в рассмотренном конкретном случае промежуток времени (3.21), для которого решения задачи с внутренним давлением (3.10)—(3.12) справедливы, будет

$$37.53 \ \text{vac} \leqslant t + 45.52 \ \text{vac}$$
 (4.4)

Этот промежуток намного шире, чем промежуток разгрузки или нейтральных изменений изпряже и по состояния оболочки  $t_1 = t - t_1 = t$ 

37.53 yac 1 39.33 yac

Институт матеметики и механики АН Армянской ССР

Поступила 17 XI 1966

n. Ir. Spellshillship

988ՄԱՆ ՀԱՏԱԾ ԿՈՆԱԿԱՆ ԺԱՂԱՆՔԻ ԱՌԱՉԳԱ-ՊԼԱՍՏԻԿԱԿԱՆ ՄԻ ԽԴԳՐԻ ՄԱՍԻՆ

lk d disa din i d

F ազանինների անմոժենն տեսության շրջանակներում դիտարկվում է պատման ծառած կոնական հետոանքի հարի տարի ծավաստրակշութնյան խնդիրը բարդ թեռնավորման հետևյալ դեպքի տեսութ ( $s_c : 0$ ) ամրական հակերևությալը ( $s_c : 0$ ) ամրական իր և հարի և հարի ( $s_c : 0$ ) ամրական իր և հարի և հարի և հարի ձղող հավատարաչափ բաշխված կ լարում, որը դծայնորեն անում է ըստ հայի արժեր, արժեր

որի դեպքում խաղանքում առաջանում է ստաձգա-պաստիկական դեֆորմացիաների տիրային, որից հետո ամբակցվում է չ, — և հղբր և կիրառվում ժամանակի ընթացրում նուլնպես գծալնորեն անող ներքին թ ճնչում։ Ենթաղակում է, որ ձգող գ լաթումը և թ ճնչումը ալնքան դանդաց ին անում բան ժամանակի, որ կարևլի է ինևոցիոն անդաներն արհամարնել։ Գարդարանելով բեռնաթափման և առաձգական վերաբեռնավորման հարցերը, որվում է ինդրի նշգրիտ լուծումը գծալնորեն ամբացվող նլութեի տուսնութելան տեսութելան օրչանակներում։ Բերվում է թվային արինակո

### R M KIRAKOSIAN

# ON AN ELASTIC-PLASTIC PROBLEM OF INTERSECTED CONICAL SHELL OF REVOLUTION

## Summary

On the basis of momentless theory of shells the problem of elastic-plastic quasi-statical equilibrium of intersected conical shell of revolution for one case of complicated loading is considered.

### **АИТЕРАТУРА**

- 1. Гольденией вер А. Л. Теория упругия тонняя оболочея. Госте сиздат, М., 1953.
- 2. Кичинов Л. М. Осячин теории плистичности. Гостехиздат, М., 1956.

d.

## Mesairea

## м в БЕЛУБЕКЯН

# К ЗАДАЧЕ ОБ АЭРОДИНАМИЧЕСКОМ СЛЕДЕ ЗА ПЛАСТИНКОЙ

Рассматривается эздача о движении вязкой несжимаемой жидкости в пограничном слов, сошедшем с продольно обтекаемой плоской пластинки и образовавшем невосредственно за ним аэродинамический след. Рансе, Голдстейном и Толмином получено решение указанной задачи в области, не препышающей половины длины пластинки за задней кромков и в области на большом удалении от пластинки [1]. В настоящей работе делается попытка получения приближенного решекия, пригодного во всей области течения жидкости.

1. Пусть пластинка длины L обтекается потоком несжимаемой вязкой жидкости, имеющим на бесконечности скорость L. Направим ось x по пластинке, ось y перпендикулярно к ней, а начало координат поместим в передней кромке пластинки. Уравнения пограничного слоя для данной задачи имеют вид [1]

$$\frac{\partial u}{\partial x} = \frac{\partial u}{\partial y} = \frac{\partial^2 u}{\partial y^2} = \frac{\partial u}{\partial x} = \frac{\partial z^2}{\partial y} = 0 \tag{1.1}$$

Граничными условиями будут

$$u = v = 0 \quad \text{при} \quad y = 0 \quad \text{и} \quad 0 \quad x = L$$

$$u \to U \quad \text{при} \quad y \to \quad \text{и} \quad 0 \quad x = \infty$$

$$\frac{\partial u}{\partial y} = v = 0 \quad \text{при} \quad y = 0 \quad \text{и} \quad x = L$$

$$(1.2)$$

Будем искать решение задачи в приближении Озеена. В этом случае задача сполится прешению линейного уравнения [2]

$$\frac{\partial u_1}{\partial x} = \frac{x}{U} \frac{\partial^2 u_1}{\partial y^2} \tag{1.3}$$

с граничными условиями (1.2).

Рассмотрим отдельно две задачи, связанные с решением уравневия (1.3), но с различными граничными условиями:

- а) полубесконечная пластинка продольно обтекается потоком жил-кости со скоростью ();
- 6) жидкость поконтся при x = L Вдоль оси x при x = L имеется распределение скорости u = (x).

Очевидно, что решение исследуемой задачи и приближении Озеена в области x > L будет суммой решений указанных задач, если возможно найти  $u_{\pi}(x)$  так, чтобы удовлетворить последнему из граничных условий (1.2). Решения задач al и б) имеют вид [2, 3]

$$u_{11}(x, y) = U_{-} \operatorname{Erf}(\tau_{0}) \tag{1.4}$$

$$u_{10}(x, y) = \int u_{12}(\theta) \frac{\partial u_{2}}{\partial x} d\theta$$
 (1.5)

rac

$$\operatorname{Erf}(\tau_{i}) = \frac{2}{-1} \left\{ e^{-\frac{\tau_{i}}{2}} dz, \frac{y}{2} \right\} \qquad (1.6)$$

$$\tau_{i} = \frac{y}{2} \left\{ \frac{y}{\sqrt{(x-\theta_{i})}}, u_{i} = 1 - \operatorname{Erf}(\tau_{i}) \right\}$$

Используя (1.6) и условие и (L) 0, с помощью интегриронания по частям выражение (1.5) представим и более удобной форме

$$u_{10}(x, y) = \int u_{sq}(9) [1 - \text{Erf}(\tau_{c})] d^{ty}$$
 (1.7)

Тогда искомое решение будет иметь нид

$$u_1(x, y) = U \operatorname{Erf}(x_0) = \int u_1(\xi) [1 - \operatorname{Erf}(x_0)] dx$$
 (1.8)

Согласно последнему граничному условию (1.2) из выражения (1.8) получаем интегральное уравнение для определения неизнестной функции  $a_{21}(x)$ 

$$\int \frac{u_n(b)}{\sqrt{x-b}} \, db = \frac{U_-}{1-x} \tag{1.9}$$

решением которого будет

$$\frac{u_m(x)}{U_*} = \frac{1}{2} - \frac{1}{\pi} \arcsin\left(\frac{2L}{x} - 1\right) \tag{1.10}$$

2. Известно, что решение в первом приближении Озесна даст лишь качественное описание явления. Зададимся целью решить постанленную задачу по методу Озесна во втором приближении. Для этого необходимо решить уравнение [2]

$$\frac{\partial u_x}{\partial x} = \frac{v}{U} \frac{\partial^2 u_y}{\partial y^2} = \frac{\partial u_y}{\partial x}$$
 (2.1)

с соответствующими граничными условиями (1.2).

Использонание приема, описанного в предыдущем пункте (разбиение на две задачи в) и б)), двет для скорости на оси x ту же формулу (1.10), в то время как  $u_1(x,y)$  определяется из следующего выражения:

$$u_{1}(x, y) = U \left[ \text{Erf}(\tau_{0}) - \frac{1}{1 - \tau_{0}} \exp(-\tau_{0}) \right]$$

$$\int u_{1}(x, y) = U \left[ 1 - \text{Erf}(\tau_{0}) - \frac{1}{1 - \tau_{0}} \exp(-\tau_{0}) \right]$$
(2.2)

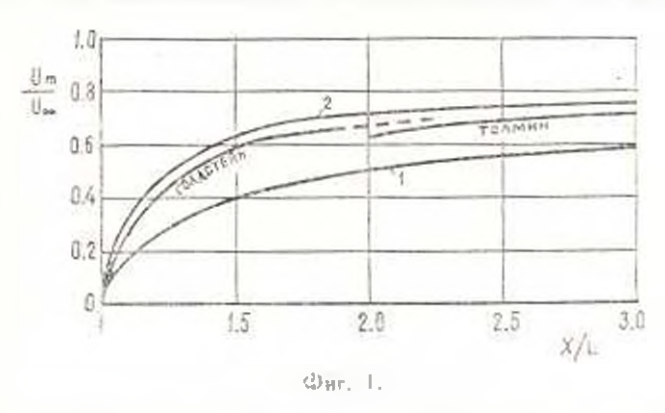
Укажем на другой способ приближенного решения поставленной задачи. Уравнение (1.1) решается точно для каждой из задач а) и б) в отдельности, а затем искомое решение представляется в виде суммы решений этих задач. И в этом случае  $u_m$  ( $x_1$  определяется по формуле (1.10), а для u(x,y) находим

$$u(x, y) = U = (2\pi) - \int u_m'(\theta) \{1 - \varphi'(2\pi_2)\} d\theta$$
 (2.3)

где функция з является решением задачи Блазнуса [1].

Отметим, что приближение и методе Озеена связано с заменой точных уравнений некоторым линейным уразвением. Приближение же в последнем случие обусловлено тем, что наложением двух видов течения мы желаем получить решение ислинейной задачи.

3. На фиг. 1 приводится графическая зависимость  $u_m U$  от x L согласно рормуле (1.10) (кривая 1). Там же приводятся кривые Голдстейна и Толмина, заимствованные из монографии  $\Lambda$ . Г.  $\Lambda$  энцинского [1].



Сравнение кривой 1 с кривыми Голдстейна и Толмина показывает, что формула (1.10) для распределения скорости по оси и дает ка вественно периую, по недостаточно точкую картину. Можно уточнить формулу (1.10) для ч (х) следующим пыражением:

$$\frac{u_{\pi}(x)}{L_{\pi}} = \left[ \frac{1}{2} - \frac{1}{\pi} \arcsin\left(\frac{2L}{x} - 1\right) \right] \tag{3.1}$$

Кривая 2 на фиг. 1 соответствует распределению скорости по оси х согласно выражению (3.1) для : = 12. Из рисунка видно, что кривая 2 с достаточно хорошей точностью совпадает с кривыми Голдстейна и Толмина.

- Інститут математики и механики АН Армян кой ССР

Паступила 30 VI 1166

### If. 4. PHARMSHARA

## ՍԱԼԻ ԱԵՐՈԳԻԽԱՄԵԿԱԿԱՆ ՀԵՏՔԻ ԽՆԴՐԻ ՄԱՍԵՆ

## Ամֆոփում

Դիտություն է սաշմանային շերտում անտիցնելի մամուցիկ հեղուկի շարժման թողերը, որը անջատված է երկաքնական չրջհոսվող սայից և տոաջացնում է անրողինամրկական հետո։ Սահմանային շերտե համասալունները լուժմում են հաշորդական մասավորությունների նղանակով։ Որպես առա ին մոտավորություն ընդունվում է Օրևեսը լումումը։

Ստուցված է պարզ բանաձև սալի հարխու Սյան մեջ դանվող առանցրի վրա արադուխյան րավաման համար։

Դրաֆիկի վրա արվում է ստացմած լուծման համեմատուխյունը հոլդուսելնի և Տոլմինի հայտնի լուծումների հետ։

### M. V. BELUBEKIAN

# ON THE PROBLEM OF THE AERODYNAMIC TRAIL BEHIND THE PLATE

# Summary

This paper is dedicated to the study of the boundary layer in steady, incompressible flow past a finite plate.

The formula for velocity, behind the plate, obtained by Oseen's method, is compared with the results of Goldstein and Tollmien.

### АИТЕРАТУРА

- 1. Лойцянский А. Г. Ламинарный пограничный слой. Физматтия, М., 1962.
- Липянский А № Аэродинямика пограничного слоя. Гостехтеориздат, М.—А., 1941.
- 3. Смирнов В. И Кере высшей математики, том П. Гостехтеориздат, М., 1954.